

جامعة محمد خيضر بسكرة  
كلية العلوم الدقيقة وعلوم الطبيعية و الحياة  
قسم علوم المادة



# مذكرة ماستر

علوم المادة  
فيزياء  
فيزياء المادة المكثفة  
رقم : أدخل رقم تسلسل المذكرة

إعداد الطالب:  
الجازية قطياني  
راضية قطياني  
يوم : 26/09/2020

دراسة البنية المجهرية للكاولن DD1 بطريقة  
وران افرباخ وويليامصون هول

## لجنة المناقشة:

رئيس	أ.مح ب	جامعة محمد خيضر بسكرة	شوية فاتح
مقرر	أ.مح ب	جامعة محمد خيضر بسكرة	العاقل عبد الغاني
مناقش	أ.مح ب	جامعة محمد خيضر بسكرة	بوخميس بوديرة

السنة الجامعية : 2021/2020

## الشكر و التقدير

إن الشكر و الحمد لله نحمده حمدا كثيرا طيبا مباركا فيه.  
أتقدم بالشكر الجزيل الى كل من ساهم من قريب أو من بعيد في إنجاز هذه الرسالة،  
وأخص

بالذكر الأستاذ العاقل عبد الغاني على إشرافه و تتبعه المستمر طيلة إنجاز هذا  
البحث و كذا نصائحه

وإرشاداته القيمة وتشجيعه لنا طيلة مسيرة البحث ، كما أشكر فيه حبه للعمل  
المتقاني و إخلاصه .

- الى كل من علمني حرفا في هذه الدنيا الفانية.

- الى ابي الغالي.

- الى امي العزيزة الغالية والى اخواتي واخي الغالي

- الى جميع افراد الاسرة التربوية في الجزائر الحرة الابية .

- الى كل هؤلاء وهؤلاء اهدى هذا العمل المتواضع

ونسأل الله ان يجعله نبراسا لكل طالب علم

## الفهرس

1.....مقدمة عامة

### الفصل الاول: انعراج الأشعة السينية في البلورات

4.....I المقدمة

4-I قانون براغ.....4

5.....I-2 تحليل مخطط الانعراج في البلورات

6.....I-2-1 البنية البلورية

7.....I-2-2 حساب بعد الحبيبات  $D_f$

8.....I-3 حساب السمك الاصلي للبلورة

11.....I-4 حدود تصنيف علاقة شيرر Scherrer

11.....I-5 علاقات اخرى تستعمل في حساب بعد الحبيبات

13.....I-6 برامج المحاكاة

16.....I-7 الطرق المستعملة للحصول على الدالة الحقيقية

16.....I-7-1 طريقة ستوكس

18.....I-8 استعمال برامج X'Pert HighScore

18.....I-8-1 كيفية استخدام X'Pert HighScore

### الفصل الثاني: فهم الطرق المستعملة لدراسة البنية المجهرية

20.....II مقدمة

20.....II-1 طريقة واران لقياس العرض

22.....II-2 تصحيح راشينجر لقياس عرض الخطوط لزوج  $\alpha_1 \alpha_2$

24.....II-3 قيم الدالة الحقيقية  $\xi - f_\epsilon$  لأهداب الانعراج (Convolution)

24.....II-4 تحليل فورييه لشكل الخطوط : Fourier Analysais of line profiles

26.....II-5 طريقة جونز jones لقياس عرض الانعكاسات

27.....	6-II التطبيقات العملية لقياس عرض الانعكاسات
27.....	1-6-II Apparent crystal size: حجم البلورات الظاهري
28.....	2-6-II structural Faults العيوب التركيبية
31.....	7-II طريقة وارين – افرباخ: Warren – Averbach Method
32.....	8-II Fibre texture: النسيج الليفي
33.....	9-II Sheet Texture: النسيج الشريحي
33.....	10-II stereographic projection مسقط ستيروجرافي
36.....	11-II Inverse Pole Figures: الشكل القطبي العكسي
38.....	12-II Stress measurement in metals: قياس الاجهاد في المعادن
43.....	13-II Convolution مثال عن الجداء المختلط

### الفصل الثالث: مناقشة النتائج المتحصل عليها

45.....	III مقدمة
45.....	1-III النتائج المتحصل عليها
45.....	1-1-III مختلف الاطوار التي يتكون منها الكاولن DD1
46.....	2-1-III مخطط انعراج الاشعة السينية
47.....	3-1-III مخطط الانعراج لمسحوق الكوارتز
48.....	4-1-III معالجة مخطط الانعراج
49.....	5-1-III تحديد البنية البلورية
50.....	6-1-III ايجاد الدالة الحقيقية
50.....	7-1-III رسم مختلف الاهداب الحقيقية
52.....	2-III مناقشة النتائج المتحصل عليها
52.....	1-2-III تصحيح لورانتر
53.....	2-2-III تمثيل مخطط ويليامسون هول

53.....	III-2-3 حساب البعد الحبيبي.....
60.....	الخلاصة العامة.....
62.....	المراجع.....

مقدمة عامة

## مقدمة عامة

تعتبر المواد الحرارية ذات أهمية كبيرة خصوصا في المجال الصناعي , فهي تمتاز بدرجات حرارة انصهار عالية , بالإضافة إلى ناقليتها الضعيفة للحرارة , مما يؤهلها للاستعمال كمواد مبطنة للأفران , ومرشحات للمياه ومن بين هذه المواد شائعة الاستعمال , أكسيد الألمنيوم ( $Al_2O_3$ ) وأكسيد المغنيزيوم ( $MgO$ ) وأكسيد الكروم ( $Cr_2O_3$ ).

هناك ظواهر فيزيائية مهمة يجب أخذها بعين الاعتبار في دراسة طوائف الانعراج، بالفعل فإن ظاهرة التوسع في طيف أشعة الانعراج تستطيع أن تنتج شدة متغيرة لمختلف الأهداب (pics) للمادة المدروسة مما يؤدي إلى توزيع خاص في الشدة. شكل توزيع الشدة أو شكل هدب الانعراج هو يمثل عدة عوامل تميز البنية المجهرية وكذلك التحريف الناتج عن الجهاز. من ضمن العوامل الفيزيائية التي تؤثر على شكل هدب الانعراج نذكر البنية المجهرية (البعد، الشكل الإجهاد، العيوب الخطية، العيوب المستوية .....). هذه العوامل يمكن إيجادها انطلاقا من حساب الدالة الحقيقية (profil vrai) للعينة بواسطة عملية ديكونفوليسيو (la déconvolution).

الطريقة الأكثر استعمال في تحليل البنية المجهرية في حالة وجود الإجهاد والبعد معا هي طريقة واران أفرباك. وقد تم اختيار هذه الطريقة لكونها لا تعتمد على شكل الطيف (profil).

نظرا لأهمية الدور الذي تلعبه البنية المجهرية في تحديد الخصائص الفيزيائية والكيميائية أرتكز عملنا على دراسة الكاولن الموجودة شرق البلد وهو كاولن جبال دباغ. وبالخصوص البنية المجهرية للكاولينيت الموجودة داخل هذا النوع من الكاولن وذلك بتحليل شكل طوائف الانعراج. هذه الدراسة محققة في إطار التعاون مع المؤسسة الوطنية التي تستغل مناجم الكاولن (SOALCA).

الجدير بالذكر أن هذا النوع من الكاولن تم دراسته في حالته الطبيعية (دون تعريضه لمعالجة حرارية).

في الفصل الأول لهذه الأطروحة إلى عموميات حول الأشعة السينية وطرق تحليل طيف الانعراج للأهداب وكذا الطرق المستعملة لحساب البعد و الاجهاد .

تعد طريقة واران أفرباخ أحسن الطرق المستعملة لحساب البعد و الاجهاد , حيث هذه الطريقة لا تعتمد على وضع فرضيات إلى أنها تشترط هديين على الأقل من نفس العائلة لحساب الإجهاد ونسبة الخطأ في هذه الطريقة محصور بين 20 % و 30% , وهذه الأخطاء ناتجة على طرق حساب

معاملات فوريه وطريقة راشينجر التي تستعمل لفصل طيف الأشعة السينية عن بعضهما البعض وكذا طرق المستعملة للحصول على الأهداب الحقيقية وحساب البعد والإجهاد في الفصل الثاني .

أما في الفصل الأخير فقد خصصناه لعرض النتائج المحصل عليها ومناقشتها .



# الفصل الأول

انعراج الأشعة السينية في البلورات

## I مقدمة :

من المعلوم أنه لرؤية الأشياء المحيطة بنا بالعين المجردة نحتاج إلى الضوء المرئي، وإذا ما دعت الحاجة إلى التعرف إلى كيفية ترتيب الذرات في المادة، أو الأيونات و الجزيئات في بلوراتها، فذلك يحتاج إلى ضوء ذي طول موجي قصير للغاية، عموما المادة في معظم حالاتها عبارة عن جسم متعدد البلورات مكونة من عدد كبير من البلورات الأحادية، وهو عبارة عن تراص منتظم من الذرات، يمكن وصف هذا التراص بمجموعة من المستويات البلورية معرفة بمسافة بينية تدعى بالمسافات بين المستويات الشبكية  $d_{hkl}$  حيث (hkl) قرائنمير تقاس هذه المسافة عن طريق انعراج الأشعة السينية بواسطة قانون براغ [ 1 ، 2 ] .

## I-1 قانون براغ :

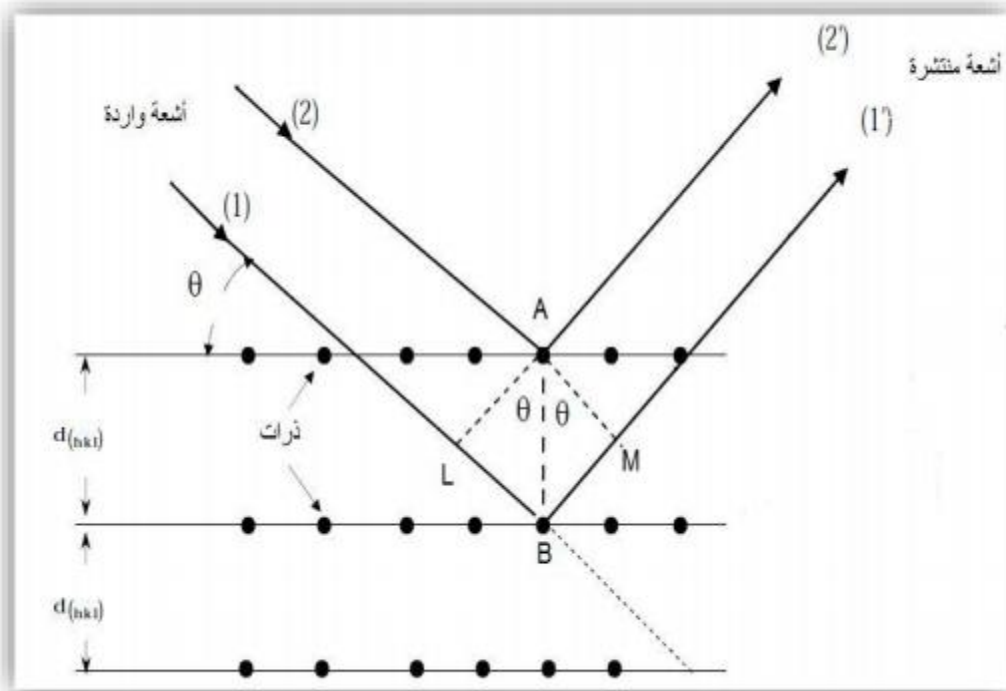
تمكن العالم وليام لورانس براغ في عام 1913م من وضع الشروط الهندسية لحيود حزمة ذات طول موجي وحيد من الأشعة السينية، ولقد اعتمد براغ في صياغة قانونه هذا على أن موجات الأشعة السينية التي تسقط على سطح بلورة ما تنعكس من المستويات الذرية المتوازية انعكاسا منتظما ويحدث الحيود من المستويات المتوازية فقط عندما تتداخل الحزمات المنعكسة تداخلا بناء (حسب قانون الانعكاس في المرايا) انظر الشكل (I-1) رسم تخطيطي لانعراج الأشعة السينية وإذا كانت المسافة الموضحة بين المستويات المتوازية هي  $d$  فان فرق المسار بين حزمات الأشعة المنعكسة  $d \sin \theta$  من السطح الأعلى والسطح المجاور هو  $(2d \sin \theta)$  حيث ان  $\theta$  هي زاوية السقوط المحصورة بين الحزمة الساقطة والعمود المقام عند نقطة الانعكاس، ويحدث التداخل البناء للحزمات المنعكسة عندما يكون فرق المسار مساويا لعدد صحيح من أطوال الموجة للأشعة الساقطة لذلك يتحقق شروط الحيود إذا كان [ 3 ]:

$$2d \sin \theta_B = n\lambda \quad (1 - I)$$

حيث أن  $(n)$  رتبة الحيود و  $(n=1,2,3,\dots)$  وهذه العلاقة تمثل قانون براغ ويتضح منها أن الانعكاس من المستويات المتوازية التي تبتعد عن بعضها بمقدار  $d$  لا يتم إلا لمقادير معينة من الزاوي  $\theta_B$  (زاوية براغ)، ويشترط أن يكون الطول الموجي مساويا أو أقل من ضعف هذه المسافة بين المستويات المتوازية أي أن  $(\lambda \leq 2d)$  وأن كانت الرتبة هي الأولى  $n=1$  تكون قيمة زاوية براغ هي [4] :

$$\theta_B = \arcsin(\lambda/2d) \quad (2 - I)$$

إن قانون براغ لا يعطي تفسيراً لحدوث الحيود بانعكاس الموجات من سطح البلورة ومن الواضح أن الحيود يحدث نتيجة تغير الطور في الشبكة البلورية كما أن القاعدة الأساسية للبلورة التي تتكون من ذرات هي المسؤولة عن تحديد شدة الحزمة المنعكسة من المستويات البلورية المتوازية فكلما كانت المستويات البلورية كثيفة (غنية بالذرات) كلما كانت شدة الحزمة المنعكسة عالية يحدث الحيود لابد أن يكون التصادم المرن بين الفوتونات للأشعة وذرات البلورة هو الذي يؤدي إلى استطارة وعكس الحزمة الإشعاعية الواردة، وحزمة الأشعة السينية الواردة تستطيع أن تتوغل إلى مستويات بلورية أعمق.



شكل (1-1): رسم تخطيطي لانعراج الأشعة السينية.

## 2-1 تحليل مخطط الانعراج في البلورات

إن تحليل مخطط (طيف) انعراج الأشعة السينية للبلورات المتحصل عليه من جهاز DRX نستطيع من خلاله التعرف على مجموعة كبيرة من المعلومات حول المادة المدروسة، من أهم هذه المعلومات المحصل عليها للمادة المدروسة، نجد ما يلي :

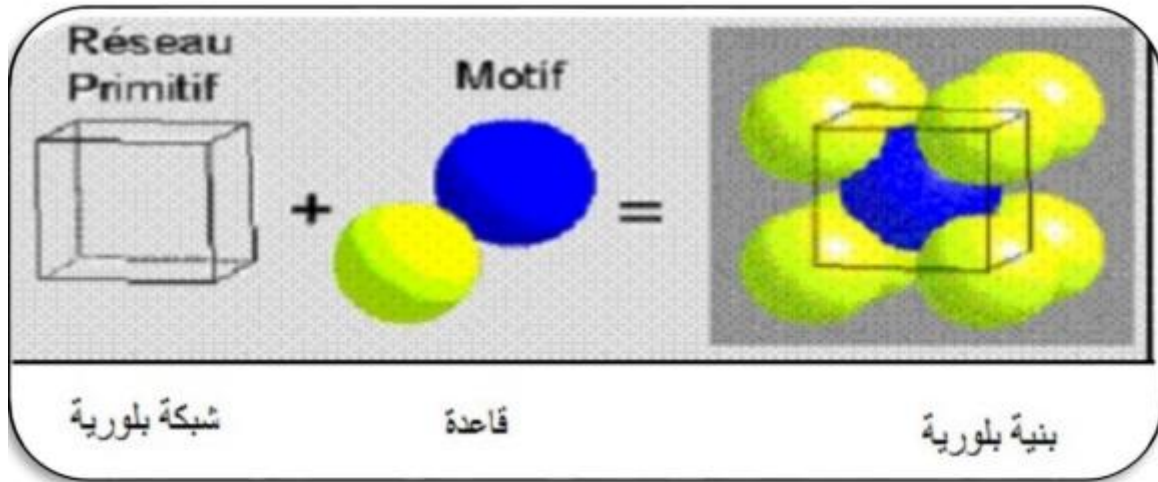
## I-2 (1- البنية البلورية :

طيف الانعراج هو دالة لتغير شدة انعراج الأشعة السينية بدلالة الزاوية  $\theta$  لطيف التركيب البلوري، من خلال دراسة وتحليل هذا الطيف يمكن الحصول على عدة خصائص متعلقة بالبلورة من أهمها :

بنية الشبكة البلورية : تكمن في التعرف على ثوابت الشبكة  $a, b, c$  و  $\alpha, \beta, \gamma$  للخلية الأساسية للبلورة ومعرفة معاملات ملير للمستويات الانعراج  $(hkl)$  هذه المعلومات يمكن الحصول عليها أو معرفة (تحديد) قيم  $2\theta$  لزوايا الانعراج  $(hkl)$  المسببة لهذه القيم ، وذلك باستعمال طرق فيزيائية أو برامج محاكاة (Digvol) الذي سوف نتطرق إليه لاحقاً في هذا الفصل.

تموضع الذرات في الخلية الأساسية : يمكن معرفة تموضع الذرات من خلال دراسة الكثافة الإلكترونية باستعمال برامج محاكاة Wien2k أو Castep أو TREOR (Indexation) وخاصة عند البلورات ذات المركبات المتعددة الذرات هذه الكثافة تترجم من خلال شكل القمة وشدة الأشعة المنعرجة .

ومن خلال ذلك دمج النتائج (تحديد الشبكة + تحديد تموضع الذرات (القاعدة)) يمكننا معرفة البنية البلورية.



دراسة البنية المجهرية : إضافة إلى معرفة البنية البلورية ومواقع الذرات يمكن تحديد خواص أخرى للبلورات من خلال انعراج الأشعة السينية مثل حجم الحبيبات والنشوء (الانفعال) و الإجهاد في

العينة، وذلك باستعمال طرق مثل طريقة واران أفرباخ وطريقة وليامسون هول وطريقة جيبس وكذلك علاقة شيرر المعدلة.

تحديد مختلف الاطوار : يتم تحديد مختلف الاطوار من خلال مخطط الانعراج بالرجوع إلى ملفات STM المعتمدة علمياً أو التحليل الحراري التفاضلي DSC عند تسخين المسحوق يؤدي إلى احتراق المواد العضوية وخروج الماء الداخل في التركيب وتفكك بعض المركبات الكربونية وبالتالي يمكن تتبع تأثير درجة الحرارة وهذا ما يعرف بالتحليل الحراري الكتلي TAG.

باستخدام قانون براغ السابق، ومن خلال المسافة العمودية بين المستويات الذرية المتوازنة داخل بلورة نظام مكعب نجد أن:

$$\frac{1}{d^2} = \frac{h^2+k^2+l^2}{a^2} \quad (3-I)$$

أي أن :

$$a=[d^2(h^2+k^2+l^2)]^{1/2} \quad (4-I)$$

وهي المعادلة التي تستخدم لحساب قيمة ثابت الشبكة (a) من نتائج (DRX) حيث (d) هي قيم المسافة بين المستويات المتوازنة في نموذج (DRX)، (hkl) معاملات ميلر المناظرة لكل مستوى في هذا النموذج .

## I-2-2 حساب بعد الحبيبات $D_f$ :

وذلك باستخدام معادلة ديبيي شرر Debye-Scherrer Equation [ 5 ] :

$$D_f = \frac{c\lambda}{\beta \cos \theta_B} \quad (A^\circ) \quad (5-I)$$

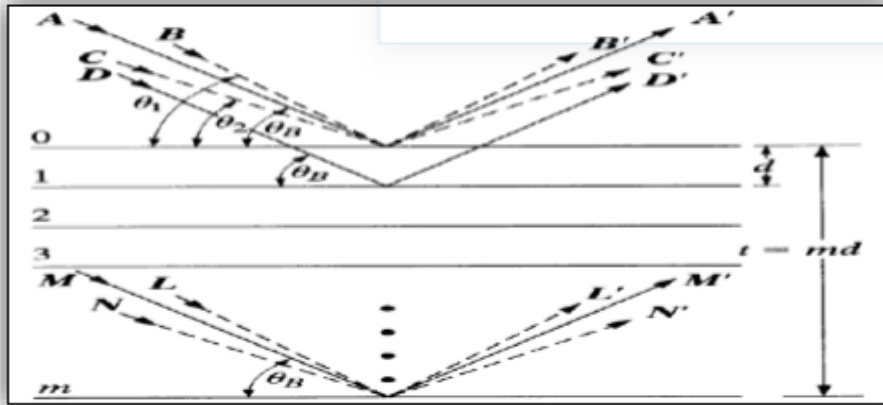
حيث ( $D_f$ ) هو بعد الحبيبات ويقاس بوحدة الانغستروم ( $A^\circ$ ). ( $\beta$ ) هي عرض المستويات المختلفة التي يتم قياسها عند سعة المنتصف من أقصى شدة وجدت للطور وتوصف الراديان ويتم حساب  $\beta$  باستعمال عدة برامج مثل برنامج Winfit او برنامج Fullprof كما توجد عدة برامج اخرى للحساب.

( $\lambda$ ) هي الطول الموجي للأشعة السينية المستخدمة في التحليل وتساوي ( $1.5418 A^\circ$ )

( $\theta$ ) هي زاوية سقوط الأشعة السينية (زاوية براغ).

(C) هو الثابت شرر و يعرف بعامل الشكل وهو مقدار ثابت يعتمد على شكل الحبيبات و الذي له قيممحصورة بين (0.38 و1.39). أو يعتمد على النظام البلوري ويؤخذ عادة حسب شكل الخط، ويتغير مقداره ما بين 0.62 الى 2.08 ،بالنسبة لنظام التكعيبي 0.94، و النظام غير التكعيبي 0.89 ،و يؤخذ القيمة 1 إذا كان شكل الحبيبة كروي.

### (3-I) حساب السمك الاصيلي للبلورة :



الشكل (3- I):رسم تخطيطي لأشعة ساقطة على سمك  $t$  من البلورة.

إن ابسط طريقة للحصول على سمك الأصلي للبلورة هي استخلاصها من علاقة براغ ،ولنفترض لدينا بلورة سمكها  $t$  ولديها  $(m+1)$  مستويا [6].

الأشعة الواردة الى الموضع من A و D الى غاية الموضع M الشكل (3- I) تصنع الزاوية  $\theta_B$  وهي ساقطة على مستويات شبكية بلورية بزاوية براغ ،أما الأشعة الواردة إلى الموضع B إلى غاية الموضع L تصنع الزاوية  $\theta_1$  ،والأشعة الورد الى الموضع C إلى غاية الموضع N تصنع الزاوية  $\theta_2$ ،وهي اشعة سينية ساقطة على مستويات شبكية بلورية بزاوية تختلف قليلا عن زاوية براغ.

لتكن الزاوية  $\theta_B$  ،عند الزاوية  $\theta_1 > \theta > \theta_2$  الشدة تختلف عن الصفر لدينا حسب قانون براغ :

$$2t \sin \theta_1 = (m + 1) \quad (6-I)$$

$$2t \sin \theta_2 = (m - 1) \lambda \quad (7-I)$$

ب طرح المعادلتين (6-I) و (7-I) نجد :

$$t(\sin \theta_1 - \sin \theta_2) = \lambda \quad (8-I)$$

بحيث :

$$\sin \theta_1 - \sin \theta_2 = 2 \cos \left( \frac{\theta_1 + \theta_2}{2} \right) \sin \left( \frac{\theta_1 - \theta_2}{2} \right)$$

$$2t \cos \left( \frac{\theta_1 + \theta_2}{2} \right) \sin \left( \frac{\theta_1 - \theta_2}{2} \right) = \lambda$$

ومن أجل الزوايا الصغيرة

$$\sin \left( \frac{\theta_1 - \theta_2}{2} \right) = \left( \frac{\theta_1 - \theta_2}{2} \right)$$

$$2t \left( \frac{\theta_1 - \theta_2}{2} \right) \cos \left( \frac{\theta_1 + \theta_2}{2} \right) = \lambda$$

نحصل على:

$$t = \frac{\lambda}{B \cos \theta_B} \quad (9-I)$$

$\Delta \theta = \theta_1 - \theta_2$  هو : B

$$\left( \frac{\theta_1 + \theta_2}{2} \right) \text{ هو } : \theta_B$$

t : السمك الاصيلي للبلورة.

### (ا) الطول الموجي للأشعة السينية $\lambda$ :

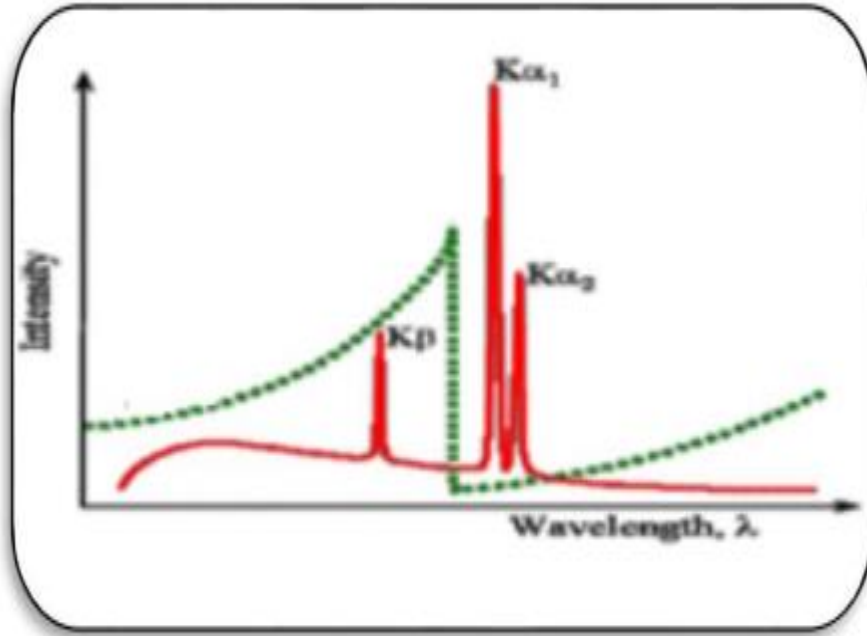
الجدول (1- I): قيم الأطوال الموجية للأشعة السينية الأكثر استعمالا في علم البلورات .

العنصر	العدد الذري z	$\lambda(k_{\alpha 1})(A^\circ)$	$\lambda(k_{\alpha 2})(A^\circ)$	$\lambda(K_{\beta})(A^\circ)$
Chrome	24	2.28891	2.28503	2.0806
Fer	26	1.93601	1.93207	1.7530
Cuivre	29	<b>1.54123</b>	1.53739	1.3893
Molybdène	42	0.71280	0.70783	0.6310
Argent	47	0.56267	0.55828	0.4960
Tungstène	74	0.21345	0.20862	0.1842

$\lambda$ : هو الطول الموجي للأشعة السينية المميزة ، وتأخذ عادة قيما محدودة وثابتة حسب مادة الهدف ، وذلك بتوليد تيار كهربائي وتسلط فرق في الجهد (حسب عمل جهاز توليد الاشعة السينية) [7].

الجدول التالي يمثل بعض الأطوال الموجية الأكثر استخداما في علم البلورات.

عند استعمال النحاس كهدف فإن الإشعاع الأكثر شدة هو الإشعاع  $k_{\alpha 1}$  عادة نستعمل اشعاعاً أحادي اللون لكن نلاحظ وجود خطوط كما في الشكل (4-I)، هما الخطين الاعظم شدة ( $K_{\alpha}$ )، والخط الاقل شدة ( $K_{\beta}$ ) هذا الاخير أثر على طريقة الحساب في أهداف الانعراج ، لذا وجب استثنائه ويمكن القيام بذلك بكل بساطة حيث يوضع مرشح (عادة يستعمل الزركونيوم) عند حافة الامتصاص بين الموجات الخطين ( $k_{\alpha 1}$ ) و ( $k_{\alpha 2}$ ) حيث يمتص ( $K_{\beta}$ ) و يمرر الخطين ( $k_{\alpha 1}$ ) و ( $k_{\alpha 2}$ ) [ 8]. ولكن يبقى هنا مشكل فصل الخطين ( $k_{\alpha 1}$ ) و ( $k_{\alpha 2}$ )، حيث يتم عزل الخط ( $k_{\alpha 1}$ ) عن الخط ( $k_{\alpha 2}$ ) ويبقى خط وحيد ( $k_{\alpha 1}$ )، وذلك باستعمال طريقة راشينجر وهذا العزل يعطي لنا نتائج حساب دقيقة.

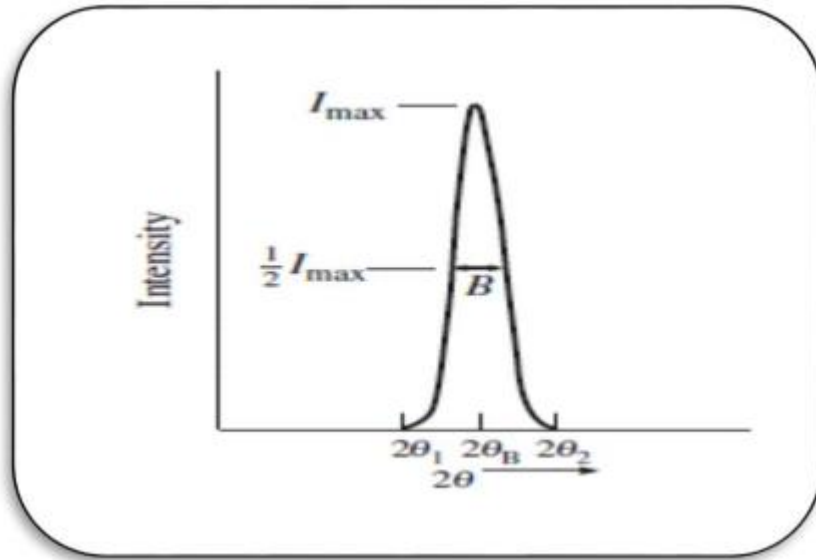


الشكل (4-I): رسم تخطيطي للطول الموجي لمعدن النحاس [ 8].

### (ب) عرض طيف الانعراج (FWHM) عند نصف الارتفاع:

هو العرض الكامل عند نصف الحد الاقصى من ذروته أو ما يعرف full-width at half-maximum (FWHM) و يرمز له بالرمز FWHM، وهو الفرق  $\theta_1$  و  $\theta_2$  حيث  $\Delta(2\theta) = 2\theta_2 - 2\theta_1$  هي الزوايا التي تكون فيها الشدة العظمى نصف قيمتها، فهو العرض المشاهد لخط الانعراج [ 9].





الشكل (5-I): العرض عند منتصف القمة الاعظمية (FWHM).

#### (4-I) حدود تصنيف علاقة شيرر Scherrer:

يمكن من خلال لمحات عن عرض خط الانعراج توفير عدة معلومات عن الابعاد كشكل البلورة ، في مجال من (5-100) nm أي الابعاد النانوية البلورية ، من خلال هذه الدراسة العكسية يمكن استخراج المعلومات المجهرية ، وعندما يكون ابعاد البلورة في حدود 100 nm عرض خط الانعراج يمكن قياسه ويكون صغيرا وفقا للعلاقة شيرر ، وهذا بغض النظر عن مقدار التشوه في البلورة [10].

#### (5-I) علاقات اخرى تستعمل في حساب بعد الحبيبات:

(أ) معادلة شيرر المعدلة :

يتم حساب الابعاد المتوسطة للحبيبات وذلك بإدخال الدالة اللوغاريتمية على معادلة شيرر فنحصل على :

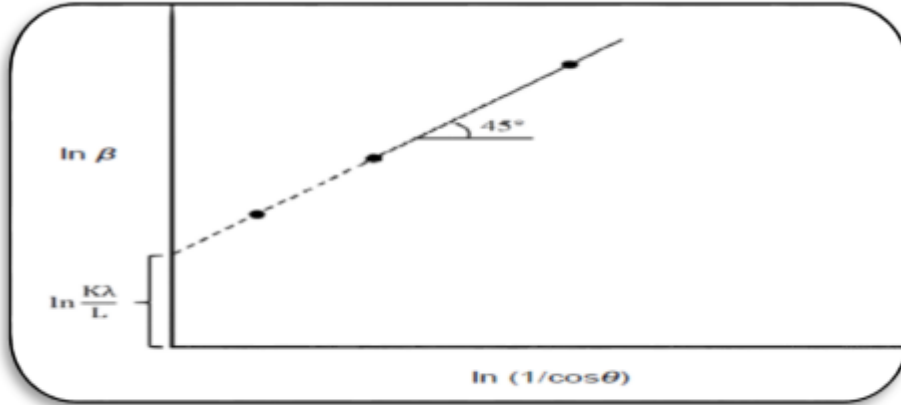
$$\ln(B) = \ln\left(\frac{1}{\cos\theta}\right) + \ln\left(\frac{K\lambda}{L}\right) \quad (10-I)$$

تمت رسم الدالة  $\ln(B)$  بدلالة  $\ln\left(\frac{1}{\cos\theta}\right)$  من الناحية النظرية يجب أن يكون البيان عبارة عن خط

مستقيم منحدر بزاوية ميل  $45^\circ$ ، الشكل (6-I) عندما تأخذ القيمة  $\ln\left(\frac{1}{\cos\theta}\right)$  الصفر تكون  $\ln(B)$

مساوية  $\ln\left(\frac{K\lambda}{L}\right)$  بحيث يكون :

$$B = e^{\ln\left(\frac{K\lambda}{L}\right)} = \frac{K\lambda}{L} \quad (11-I)$$



الشكل (I-6): معادلة شرر المعدلة، حيث رسم البيان  $\ln(B)$  بدلالة  $\ln\left(\frac{1}{\cos\theta}\right)$ .

### (ب) معادلة ويليامسون- هول Williamson-Hall:

يمكننا كذلك حساب الحجم الحبيبي باستعمال معادلة وليامسون- هول (Williamson-Hall)، التي تأخذ بالحسبان الانفعال المجهري (Micro strain) للشبكة البلورية [11]:

$$\beta \cos \theta = \frac{K\lambda}{L} + L_{W+H} + [4\varepsilon \sin \theta] \quad (12-I)$$

اذ ان  $\varepsilon$ : الانفعال المجهري (microstrain) للحبيبات .

$L_{W+H}$ : الحجم الحبيبي (nm).

$\beta$ : أقصى عرض عند منتصف القمة (rad).

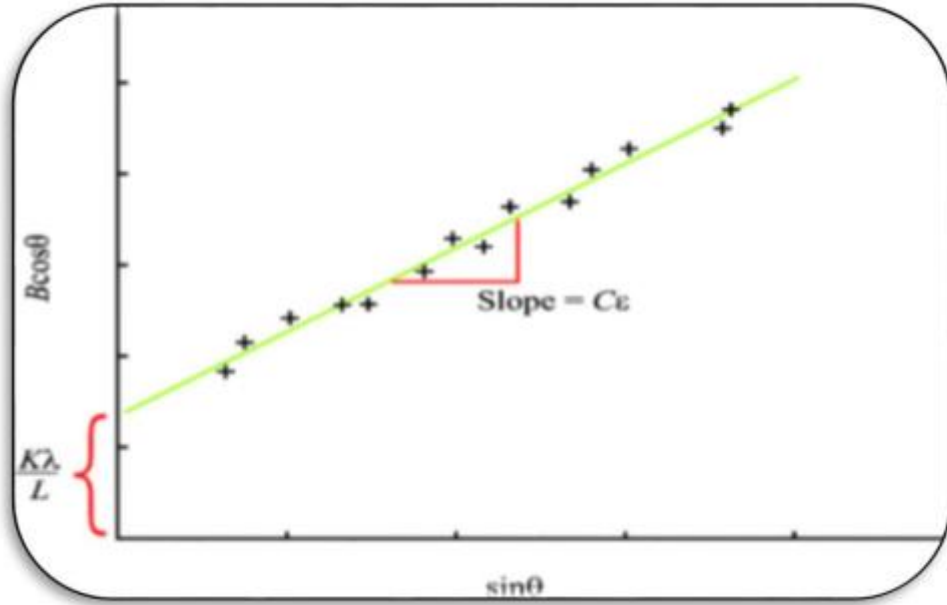
$\theta$ : زاوية سقوط الاشعة السينية (deg).

$K$ : ثابت يساوي تقريبا يأخذ القيمة بين 0.83 و 1.39 في الحالة التي يكون فيها الشكل الحبيبي كروي

يأخذ الثابت  $K$  القيمة 1

وقد يتم إيجاد معدل حجم الحبيبات بالرسم البياني  $(\sin \theta)$  على محور الفواصل (X) و  $\cos \theta \beta$  على محور الترتيب (Y) بحيث يمكن استخراج قيمة L حجم الحبيبات من خلال التقاطع مع محور الفواصل والذي يمثل  $K\lambda/L$ .

من خلال مقارنة المعادلتين نلاحظ أن معدل حجم الحبيبات باستخدام معادلة W-H هو أكبر من معدل حجم الحبيبات باستخدام معادلة ديبيي شيرر ، حيث أخذت معادلة W-H بعين الاعتبار تأثير الانفعال المجهري للحبيبات ، حيث يعزى السبب في عرض القمم إلى حجم الحبيبات و الانفعال الداخلي في أن واحد . الذي يكون صغيرا عند استخدام المساحيق [12].



الشكل (I-7): رسم البيان  $B \cos \theta$  بدلالة  $\sin \theta$  .

## I-6 برامج المحاكاة

### برنامج Digvol :

هو برنامج يتم من خلاله تحديد النظام البلوري ومعاملات البلورة و الزوايا وهو برنامج يحدد قرائن الخلية [14.13] hkl. وهو يعتمد على ملف in و يعطي لنا ملف out

تم إدخال طريقة التقسيمات للتقنين تلقائياً لنمط الحيود سنة 1972 من طرف العالم لووير Louer، حيث يعطي النتائج في حالة طور واحد ولقد ارتكز عملنا هذا على دراسة طور واحد (الكاولينيت) وبالنسبة لزوايا الانعراج يتم اخذ خمسة زوايا على الأقل

في بداية تم التعامل مع النظام البلوري الأحادي الميل (Monoclinic) في برنامج **Dicvol** من طرف فرغاس (Vargas) لووير Louer عام 1982 حيث استخدم هذا الإصدار الأخير لتقسيم حجم الخلية الأساسية و البحث عن حلول أكثر في حجم اصغر للخلية الأساسية و كذلك البحث عن كثافة الشبكة المستعملة إذا كانت معروفة ويجب أن يكون الحل عبارة عن عدد صحيح.

يعاني البرنامج أحيانا من البطء في الحصول على النتائج، حيث قد تكون فترة الحساب التي يستغرقها تصل إلى ساعات و هذا السبب لم يتم التعرف عليه و مع ذلك تم العثور على المبالغة في التقدير للتكامل حتى عدة أيام.

في 1991 عمل علي بولطيف Boultif استاذ التعليم العالي بجامعة الإخوة منتوري بقسنطينة الجزائر و العالم لووير المشرف على مذكرة بولطيف حيث تم حل هذه المشكلة في تقدير التكامل  $[Q^-, Q^+]$  وتطبيق

التقسيمات المتتالية في التناظر ثلاثي الميل triclinic [17، 16، 15]

في برنامج DICVOL، تكون متغيرات الدالة  $f$  لخلية الشبكة هي  $a, b, c, \alpha, \beta, \gamma$  بحيث في الحالة العامة تكون:

$$Q = f(a, b, c, \alpha, \beta, \gamma) \quad (13 - I)$$

ويتم تحديد المنطقة الابتدائية للانقسام بمايلي :

$$D = [a^+ a^-] [b^+ b^-] [c^+ c^-] [\alpha^+ \alpha^-] [\beta^+ \beta^-] [\gamma^+ \gamma^-] \quad (14 - I)$$

وهذه العبارة تكشف لنا الفضاء كاملا وذلك بزيادة أعداد صحيحة للتكاملات التالية :

$$[a^- = a_0 + n_a P, \quad a^+ = a^- + ]$$

$$[- = b_0 +, b^+ = b^- + P]$$

$$[c^- = c_0 + n_c P, \quad c^+ = c^- + ]$$

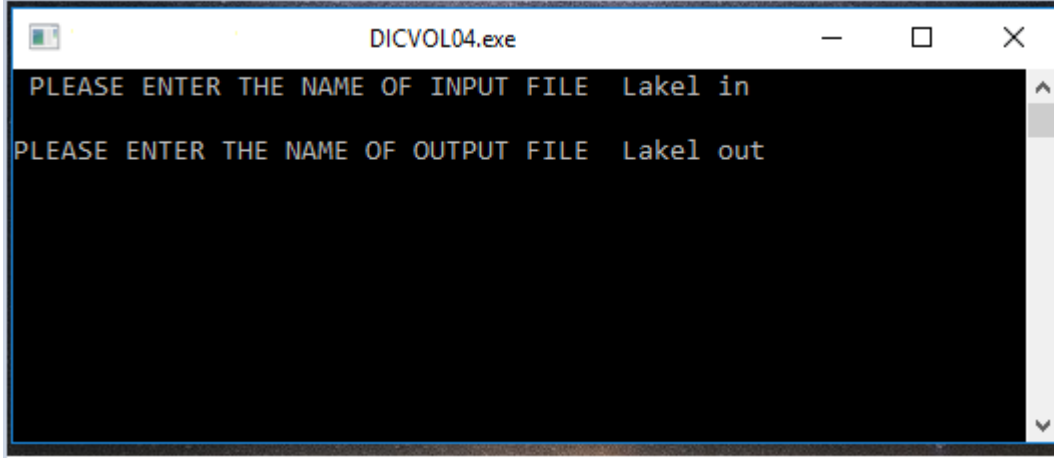
$$[- = \alpha_0 + n_a \theta, \quad \alpha^+ = \alpha^- + \theta]$$

$$[\beta^- = \beta_0 + n_\beta \theta, \quad + = \beta^- + \theta]$$

$$[\gamma^- = \gamma_0 + n_\gamma \theta, \quad + = \gamma^- + \theta]$$

حيث P هي الخطوة للمتغيرات الخطية a,b,c.

الزاوية لمتغيرات الزوايا  $\alpha, \beta, \gamma$ .



شكل (8-I) واجهة برنامج DICVOL

### ب. برنامج TREOR:

يعد هذا البرنامج إحدى البرامج التي تسهل التقنين Indexation لأنماط المساحيق على أساس طريقة التجربة والخطأ بحيث وصفت واكتشفت من طرف Warne في سنة 1964 و أول نسخة ظهرت لهذا البرنامج في 1974 TREOR بحث كتبت على برنامج الفورتران بحيث TREOR يبحث عن الحلول للتقنين في الفضاء وذلك بتغيير قرائن ميلر و ترتيبها حسب تشرلي Shirley ، يعتمد البرنامج إلى حد بعيد على طرق التجربة والخطأ في الرسم حيث أن نسبة النجاح لهذا البرنامج جيدة حيث تصل إلى 90 بالمائة وباعتبار التناظرات العالية من النظام المكعبي فما فوق.

هذا البرنامج فكرته بدأت بالتناظر المكعبي وبطريقة تدريجية مختبرة للتناظرات المنخفضة وذلك بسبب زيادة احتمال نجاحها [18].

### ج. برنامج ITO:

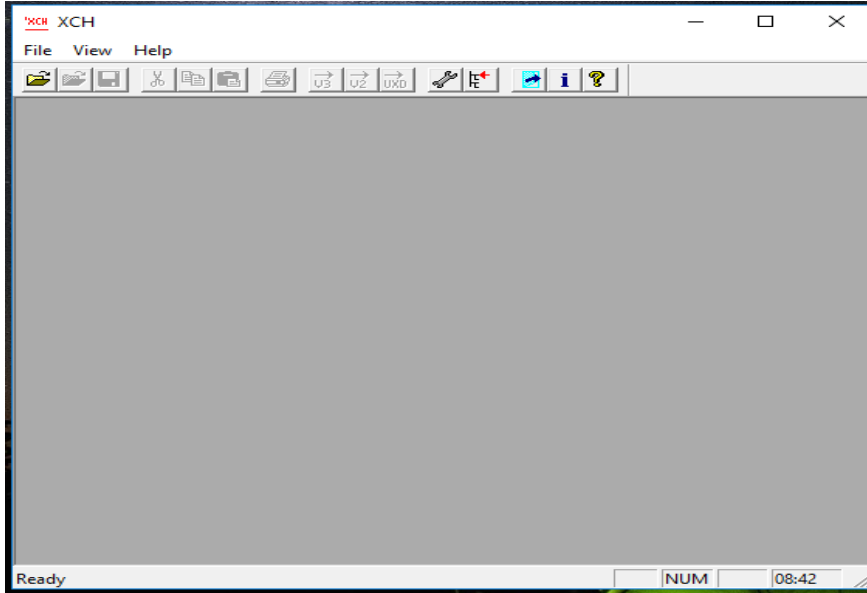
طريقة ITO وضعها كذلك وولف فيسر VisserWolf سنة 1958 حيث يعطي نتائج جيدة ولكن في رتب تناظر عليا ويتطلب الدقة في القياس [19].

حيث يعتبر أن اصغر القيم ل hkl

$$c *^2=(111)Q, b *^2=(111)Q, a *^2=(111)Q$$

### د- برنامج XCH :

يستعمل هذا البرنامج لتحويل الملف RAW المتحصل عليه من جهاز الانعراج الى ملف XCH وذلك لأخذ قسم الشدة وزاوية الانعراج قصد ادخال هذه المعطيات الى برنامج ستوكس للحصول على الدالة الحقيقية ومعاملات فورييه .



شكل (11-I) واجهة برنامج XCH

### I-7 الطرق المستعملة للحصول على الدالة الحقيقية:

من بين الطرق المستعملة للحصول على الدالة الحقيقية (profil vrai f(x) طريقة (Louër. Weigel) (Stokes). (Ergun). (Williamson et Hall). (Voigt). (Louboutin) استعملنا طريقة ستوكس (Stokes) ، وفي هذا العمل

### I-7-1 طريقة ستوكس:

طريقة ستوكس تعتمد على تحويلات فورييه ،تحويلات فورييه مبنية على الجداء المختلط لهذين الدالتين ،حيث جداء هذين الدالتين هو جداء معامل فورييه لكل دالة حيث الدالة f(x) والدالة h(x) محصورة في المجال [-a /2, a/2] تنعدم الدالتين خارج هذا المجال a يمثل حدود تكامل الدالة h(x)

$$h(x) = \int_{-a/2}^{+a/2} f(y)g(x-y) dy$$

الدوال الثلاثة تكتب على شكل سلاسل فورييه على الشكل التالي:

$$f(x) = \sum_{n=-\infty}^{n=+\infty} F(n) \exp(-2\pi i n \frac{x}{a});$$

$$g(x) = \sum_{n=-\infty}^{n=+\infty} G(n) \exp(-2\pi i n \frac{x}{a});$$

$$h(x) = \sum_{n=-\infty}^{n=+\infty} H(n) \exp(-2\pi i n \frac{x}{a}).$$

شروط معاملات  $F(n)$ ,  $G(n)$  و  $H(n)$  تكتب على الشكل:

$$F(n) = \frac{1}{a} \int_{-a/2}^{+a/2} f(x) \exp(2\pi i n \frac{x}{a}) dx ;$$

$$G(n) = \frac{1}{a} \int_{-a/2}^{+a/2} g(x) \exp(2\pi i n \frac{x}{a}) dx ;$$

$$H(n) = \frac{1}{a} \int_{-a/2}^{+a/2} h(x) \exp(2\pi i n \frac{x}{a}) dx .$$

تعطي المعادلة عبارة الدالة  $f(x)$  و  $g(x)$

من هذين الدالتين التجريبيتين  $h(x)$  و  $g(x)$  نتحصل على المعاملات  $F(n)$  انطلاقا من الدالة الحقيقية، المعامل  $F(n)$  يأخذ دائما قيم حقيقية وقيم خيالية ويكتب على الشكل:

$$F(n) = Fr(n) + iFi(n)$$

$$G(n) = Gr(n) + iGi(n)$$

$$H(n) = Hr(n) + iHi(n)$$

يعطى معامل الجزء الحقيقي والخيالي بالعبارتين:

$$Fr(n) = \frac{1}{a} \frac{Hr(n)Gr(n) + Hi(n)Gi(n)}{G_r^2(n) + G_i^2(n)}$$

$$Fi(n) = \frac{1}{a} \frac{Hi(n)Gr(n) - Hr(n)Gi(n)}{G_r^2(n) + G_i^2(n)}$$

مع:

$$G(n) = Gr(n) + Gi(n) = \frac{1}{a} \left( \int_{-a/2}^{+a/2} g(x) \cos(2\pi n \frac{x}{a}) dx + i \int_{-a/2}^{+a/2} g(x) \sin(2\pi n \frac{x}{a}) dx \right)$$

هو نفسه بالنسبة  $H(n)$   $g(x)$  يتم استبداله ب  $h(x)$ . وبالتالي يتم حساب  $Fr(n)$  و  $Fi(n)$  من

معاملات فورييه  $Hi(n)$  و  $Gr(n)$ ,  $Gi(n)$  و  $Hr(n)$  التي يمكن حسابهما وفقا لمعايير البيانات التجريبية يمكن ايجاد قيمة الدالة الحقيقية باستخدام المعادلة

$$f(x) = \sum_{n=-\infty}^{n=+\infty} \left\{ Fr(n) \cos(2\pi n \frac{x}{a}) + Fi(n) \sin(2\pi n \frac{x}{a}) \right\}.$$

## I- 8 استعمال برنامج: X'Pert HighScore

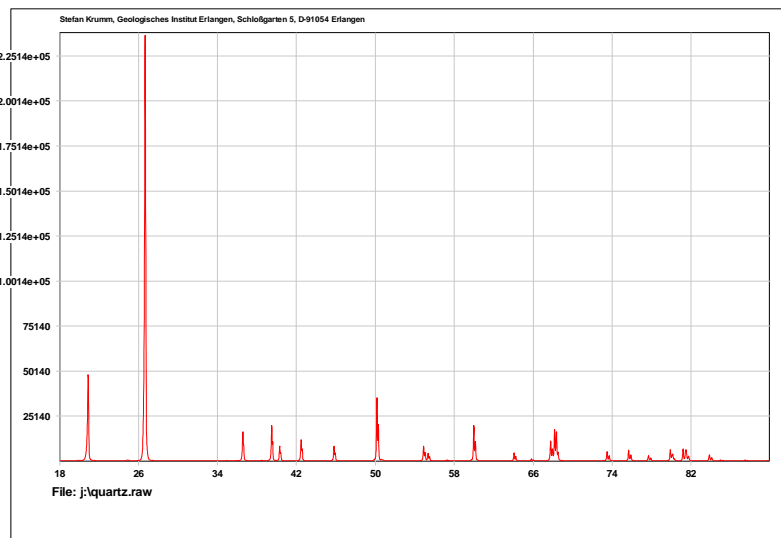
يعتبر برنامج X'Pert HighScore واحد من البرامج الحاسوبية التي تعالج بيانات حيود الأشعة السينية وبحثها لقاعدة بيانات متنوعة يمكننا الحصول على معلومات عديدة عن مختلف التراكيب البلورية. بإمكان برنامج X'Pert HighScore المطابقة بين المعلومات المقدمة له من مخطط حيود الأشعة السينية للعيينة المدروسة وتلك التي عنده من قواعد البيانات معطيا التركيب البلوري المطلوب [20].

## I- 8-1 كيفية استخدام: X'Pert HighScore

لمعالجة مخطط انعراج الأشعة السينية باستخدام هذا البرنامج عبر مجموعة من الخطوات وهي بالتدرج كما يلي:

فتح الملف المتحصل عليه من جهاز الانعراج:

- يتم قراءة طيف مخطط الانعراج بصيغة الملف (RAW. xrdml) مباشرة كما هو موضح في الشكل التالي:



الشكل (I- 11): طيفانعراج الأشعة السينية لمسحوق الكوارتز.



## الفصل الثاني

فهم الطرق المستعملة لدراسة البنية  
المجهرية

## II مقدمة

لدراسة البنية المجهرية (البعد ، الاجهاد ) توجد العديد من الطرق (طريقة ويليامسون هول ، وطريقة واران افرباخ ، وعلاقة شرر.....) ، ولقد تطرقنا إلى علاقة شرر بالتفصيل في الفصل الاول إلى أنها تكون صالحة إلا في الحالة التي تكون فيها العينة غير متأثرة بالإجهاد إلى أن اغلب الطرق تعتمد على وضع فرضيات للحساب شكل الهدب (كوشي ، غوص.....) ولكن الطريقة الافضل للحساب في حالة وجود البعد و الاجهاد معا هي طريقة واران افرباخ لأنها لا تعتمد على وضع فرضيات إلى أنها تشترط وجود هديين على الاقل من نفس العائلة ونسبة الخطأ فيها صغيرة جدا ناتجة عن حساب معاملات فوريه ولهذا السبب سوف نعتد في الحساب على طريقة واران افرباخ للحصول على نتائج جيدة كما اننا سوف نعتد على طريقة ويليامسون هول لأنها الطريقة الوحيدة التي نستطيع من خلالها التعرف على ان العينة متأثرة بالبعد و الاجهاد وكما انها تسمح لنا بالحصول على قيمة البعد و الاجهاد كما اننا سوف نستعمل علاقة شيرر في الحالة التي تكون فيها العينة غير متأثرة بالإجهاد . فأى من هذه الطرق سوف نتحصل من خلالها على نتائج حساب دقيقة ؟

### II - 1 طريقة واران لقياس العرض:

يجب الأخذ في الاعتبار انه حتى في حالة البلورات الكبيرة المثالية (perfect) تكون الانعكاسات ذات عرض محدد وهذا يرجع لعدة اسباب هي :

1- تفرق او تباعد الأشعة الساقطة (divergence) .

2- ابعاد العينة .

3- العرض الطبيعي لأشعة x (اكس) نفسها .

وتوجد صعوبات نظرية لأخذ في الاعتبار هذه العوامل

وفي سنة 1941 م اقترح وارين Warren ان مربع الاجزاء من عرض الخطوط يمكن جمعها على بعضها، فاذا كان B هو العرض الكلي لخط الحيود، b هو عرض نتيجة الظروف العملية المذكورة سابقة فيكون  $\beta$  هو العرض نتيجة صغر حجم البلورات حيث يعطى بالمعادلة :

$$\beta^2 = B^2 - b^2 \quad (1-II)$$

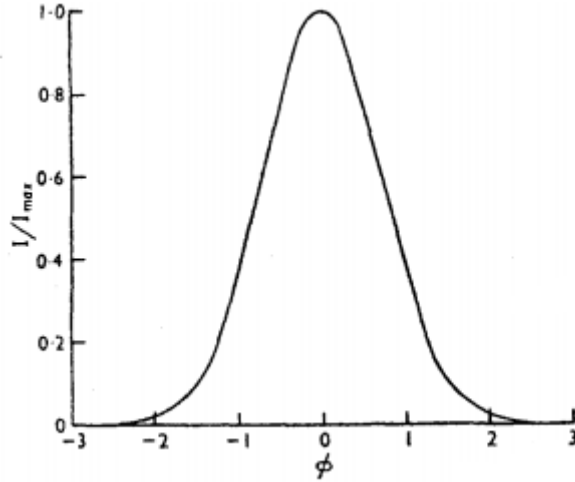
وإثبات هذه العلاقة يعتمد على فرضية ان توزيع الشدة على خط الانعكاس له الشكل :

$$I=I_{\max}\exp(-\alpha\phi^2) \quad (2-II)$$

ويسمى منحنى الخطأ (error curve) حيث  $I$  هي شدة الاشعة المقاسة عند زاوية انحراف  $\phi$  من القيمة الحقيقية للكميات  $\alpha, \theta$  هي كمية ثابتة وهذه الدالة الموضحة بشكل (II- 2) اختيرت لأن لها القيمة العظمى عند  $\phi=0$  وتقل إلى الصفر كلما ازدادت قيمة  $\phi$ ، كما انه في طريقة إثبات العلاقة السابقة يفترض ان عناصر الانعكاسات (élément of broadening) لها ايضا هذا الشكل [21].

ومن الواضح ان العرض الطبيعي للخط المنبعث لا يتوافق مع هذه الفرضية ذلك لأنه يحتوي على قيمتي  $\alpha_1, \alpha_2$  ويجب مراعاة ان يأخذ في الاعتبار أن يكون  $B_T$  هو العرض المشاهد عمليا بعد تصحيحه نتيجة وجود الثنائي  $\alpha\alpha_{21}$ .

وعمليا لا يمكن اعتبار طريقة وارين يمكن تطبيقها في جميع الاحوال لان عناصر عرض الانعكاسات (éléments of broadening) لا يكون لها شكل منحنى الخطأ [22].



الشكل (II- 2) منحنى الخطأ  $I=I_{\max}\exp(-\alpha\phi^2)$

## II - 2- تصحيح راشينجر لقياس عرض الخطوط لاذواج $\alpha_1 \alpha_2$ : Rachinger correction for the $\alpha_1 \alpha_2$ doable in the measurement of widths of lines

أحد الصعوبات التي تواجه قياس عرض الخطوط هي ازدواج الخطوط نتيجة  $\alpha_1 \alpha_2$  وهذه الخطوط المزدوجة تقع فوق بعضها عندما تصبح الخطوط عريضة وتكون المشكلة هي الحصول على عرض  $\alpha_1$  في وجود  $\alpha_2$ .

والمعلومات التي يمكن الحصول عليها هي:

أ- شكل الخط المزدوج  $(\alpha_2 + \alpha_1)$ .

ب- البعد بين المكونين  $\alpha_1, \alpha_2$  الذي يمكن حسابه من المسافة بين المستويات العاكسة وطول الموجتين  $\alpha_1, \alpha_2$  والشكل الهندسي للجهاز .

ج- نسبة شدة الخط  $\alpha_1$  الى الخط  $\alpha_2$  الذي امكن قياسه سابقا وهو يساوي 2 تقريبا .

الخطين  $\alpha_1, \alpha_2$  يمكن تمثيلهما بالمعادلتين :

$$I\alpha_1 = f(x) \quad (3-II)$$

$$I\alpha_2 = f(x-d) = 1/2 f(x) \quad (4-II)$$

حيث d هي المسافة بينهما وذلك لان.

$$2 = \frac{\text{شدة المكون } \alpha_1}{\text{شدة المكون } \alpha_2}$$

العرض التكاملي B (Intergralwidth) للمكون  $\alpha_1$  وهو الكمية المراد تعيينها يمكن الحصول عليها من المعادلة:

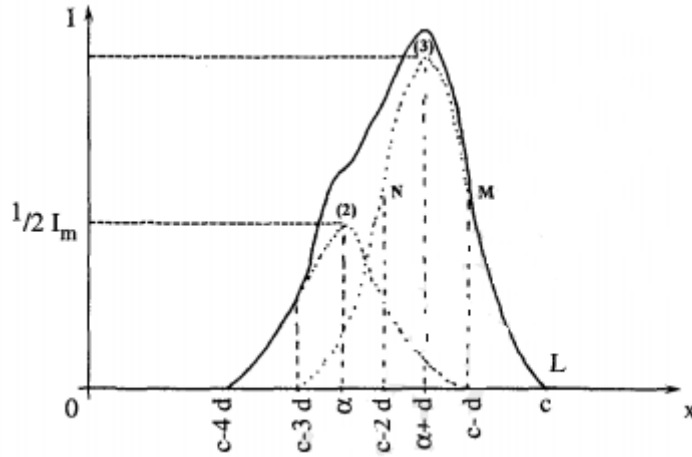
$$B = \frac{\text{المساحة المحصورة بواسطة المنحنى } \alpha_1}{\text{ارتفاع القمة للمنحنى } \alpha_2} = \frac{\int f(x) dx}{I_m} \\ = 2/3 \left[ \frac{\text{المساحة المحصورة بواسطة المنحنى المشترك } \alpha_1 + \alpha_2}{I_m} \right] \quad (5-II)$$

أي أن المطلوب هو فقط قياس العرض التكاملي وذلك للحصول على  $I_m$  وأكثر الطرق استخداماً لتعيين  $I_m$  هي تلك الخاصة بالعالم Brill وتلك الخاصة Jones إلا أنها طرق غير دقيقة حيث أنها تفترض شكلاً معيناً لخط الحيود وأفضل منها طريقة الرسم التي باستخدامها يمكن تعيين  $I_m$  وكذلك فصل الأزواج  $\alpha_1, \alpha_2$  تماماً ، وهي تتلخص في أنه من الواضح أن شدة الانعكاس  $\alpha_1$  يكون مساوياً لصفر عند  $x=c$  وأن المنحنى  $\alpha$  تصبح قيمته صفر عند  $x=c-d$  وعلى ذلك فإن المنحنى المحصل  $\alpha_1 + \alpha_2$  يصبح متفقاً مع المنحنى  $(LM)$  في المدى (المنطقة)  $c-d \leq x \leq c$  وتبعاً لذلك فإنه من هذا الجزء المعلوم من المنحنى  $\alpha$  يمكن استنباط شكل الأجزاء الباقية وتكون الخطوات كما يلي :

نقسم الشكل إلى شرائح مستطيلة راسية بحيث يكون البعد الأفقي يساوي  $d$  فيكون المحور الراسي الأول عند  $x=c$  ويمكن رسم المنحنى  $\alpha_2$  في المنطقة  $c-2d \leq x \leq c-d$  من القطاع المحدد بالخطين  $x=c-d$  ،  $x=c$  (أي المنحنى  $LM$ ) وذلك بتخفيض قيمة المحدد الراسي للجزء  $LM$  بمقدار النصف ثم إزاحة هذا المنحنى المسافة  $d$  في الاتجاه  $-x$  بعد ذلك يمكن الحصول على المنحنى  $\alpha_1$  في المنطقة  $MN$  بطرح المنحنى  $\alpha_2$  من المنحنى  $\alpha_1 + \alpha_2$  .

وتعاد نفس الخطوات بقسمة كل قيم المحور الراسي على 2 وذلك للمنحنى  $\alpha_1$  في المنطقة  $c-3d \leq x \leq c-2d$  أي  $MN$  وإزاحة هذا المنحنى المنخفض مسافة  $d$  - وبذلك يمكن الحصول على المنحنى  $\alpha_1$  في المدى السابق بعملية طرح المنحنى  $\alpha_1 + \alpha_2$  وتعاد العملية مرة ثانية حتى يمكن الحصول على عملية تفريق لكل المنحنى وعملية رسم المنحنى  $\alpha_2$  من المنحنى  $\alpha_1$  بتخفيض القيم الراسية للمنحنى  $\alpha_1$  إلى النصف واستتباع ذلك بالإزاحة للمنحنى المنخفض مسافة  $d$  - تتم بسهولة باستخدام مسطرة مزدوجة الجدار ذات سمك  $d$  .

وبهذه الطريقة يمكن تعيين  $I_m$  وبالتالي العرض التكاملي للخط  $\alpha_1$  ببساطة وحيث أنه يمكن تفريق الأزواج فإنه يمكن تعيين قيمة نصف العرض للخط المفرد (أي قيمة العرض عند نصف الارتفاع أو أية قياسات أخرى) [23].



الشكل (2-II) يوضح خطين  $\alpha_1$ ،  $\alpha_2$  لحد الانعكاسات والمحصلة أي الخط الذي يوضح

$$\alpha_2 + \alpha_1$$

### 3-II قيم الدالة الحقيقية $f(\varepsilon - \xi)$ لأهداب الانعراج (Convolution):

لإيجاد تأثير جهاز انعراج الأشعة السينية على الأهداب فإن القمة يمكن تحليلها باعتبار أن الشكل الجانبي للقمة  $h(\varepsilon)$  هو عبارة عن (convolution) بين شكل الحيود النقي  $f(\varepsilon)$  (pure) ودالة الأجهزة المستخدمة  $g(\varepsilon)$ .

$$h(\varepsilon) = \int_{-\infty}^{+\infty} g(\xi) f(\varepsilon - \xi) d\xi \quad (6-II)$$

والكمية  $h(\varepsilon)$  تعرف عند علماء الرياضيات والفيزياء الصلبة النظرية بانها (convolution) بين  $f(\varepsilon)$  والدالة  $g$  تعبر عن تأثير الأجهزة على الدالة النقية  $f(\varepsilon)$  والمتغير  $\varepsilon$  هو مقياس الانحراف الزاوي لأي نقطة عن القيمة النظرية لزاوية التشتت  $2\theta_0$  وهي المتغير  $\xi$  الإضافي لهما نفس الوحدات.

### 4-II تحليل فورييه لشكل الخطوط: Fourier Analysis of line profiles:

أفضل طريقة لإجراء تصحيح لعرض الخطوط (الدالة الحقيقية) نتيجة الظروف العملية هي طريقة التحليل convolution analysis وتبعاً لهذه النظرية فإن لأي جهاز للحيود دالة  $g(\varepsilon)$  حيث يمكن تحويل الشكل النقي لخطوط الحيود  $f(\varepsilon)$  إلى الشكل  $h(\varepsilon)$  المشاهد عملياً حسب المعادلة:

$$h(\varepsilon) = \int_{-\infty}^{+\infty} g(\xi) f(\varepsilon - \xi) d\xi \quad (7-II)$$

وهذه المعادلة يمكن كتابتها بالشكل:

$$h(\varepsilon) = \int_{-\infty}^{+\infty} f(\xi) g(\varepsilon - \xi) d\xi \quad (8-II)$$

في البدايات تمكن جونز Jones من اثبات ان مثل هذه المعادلة تعطى العلاقة بين شكل الخط النقي pure diffraction maximum وشكل الخط الذي نحصل عليه عمليا ، ثم اوضح كل من paterson, stokes, shall كيف ان الدالة  $f(\varepsilon)$  يمكن الحصول عليها من الدوال المقاسة عمليا باستخدام نظرية تحويلات فوريير Fourier transform كالاتي :

نفرض ان الدوال  $f(\varepsilon), g(\varepsilon), h(\varepsilon)$  يمكن تمثيلها بمتسلسلة فوريير :

$$f(\varepsilon) = \frac{1}{\sqrt{2\pi}} \int_{-\infty}^{+\infty} F(\xi) e^{-2\pi i \varepsilon \xi} d\xi \quad (9-II)$$

$$g(\varepsilon) = \frac{1}{\sqrt{2\pi}} \int_{-\infty}^{+\infty} G(\xi) e^{-2\pi i \varepsilon \xi} d\xi \quad (10-II)$$

$$h(\varepsilon) = \frac{1}{\sqrt{2\pi}} \int_{-\infty}^{+\infty} H(\xi) e^{-2\pi i \varepsilon \xi} d\xi \quad (11-II)$$

في هذه المعادلات تكون المعاملات  $F, G, H$  هي تحويلات فوريير Fourier transforms للمتغيرات  $f, g, h$  ويمكن ان تعطى بمعادلات كالمعادلة الاتية :

$$F(\xi) = \frac{1}{\sqrt{2\pi}} \int_{-\infty}^{+\infty} f(\varepsilon) e^{2\pi i \varepsilon \xi} d\varepsilon \quad (12-II)$$

وغيرها.

وبالتعويض عن  $f, g, h$  من المعادلات (9-II)، (10-II)، (11-II) في (7-II) نحصل على .

$$F(\xi) = \frac{H(\xi)}{G(\xi)} \quad (13-II)$$

التي تعطينا للمعادلة (9-2) القيمة:

$$f(\varepsilon) = \frac{1}{\sqrt{2\pi}} \int_{-\infty}^{+\infty} \frac{H(\xi)}{G(\xi)} e^{-2\pi i \varepsilon \xi} d\xi \quad (14-II)$$

وهذا التكامل يجعل من الممكن حساب الدالة الحقيقية  $f$  من معرفة تحويل فوريير لكل من الدوال المقاسة  $h, g$  ويمكن استبدال شكل التكامل من المعادلة بالشكل الاسي حيث يكون اكثر عمومية للسماح بإجراء التكامل على الدوال المتماثلة وغير المتماثلة .

وتبعاً لطريقة ستوكس Stokes Method يتم استبدال التكامل بالتجميع كما تغير حدود  $\varepsilon$  من  $+\infty$  الى  $+\varepsilon_m$  وهي النهاية الصغرى للمتغير .. حيث يحدث للقيم الابدع فيها ان تقل شدة الاشعة الى قيمة شدة الخلفية back ground وعلى هذا يمكن كتابة (14-2) كالآتي :

$$f(\varepsilon) = \frac{1}{\sqrt{2\pi}} \sum_{\hat{1}} \frac{H(\xi)}{\varepsilon_m G(\xi)} e^{-2\pi i \varepsilon \xi / \varepsilon_m \Delta \xi} \quad (15-II)$$

## II- 5 طريقة جونز Jones لقياس عرض الانعكاسات :

اقترح جونز Jones طريقة اخرى لتصحيح عرض الانعكاسات نتيجة وجود عرض لها اصلا يعتمد على الظروف العملية الا انها ليست بالدقة التي تتناولها طريقة تحويل فوريير ولكنها تعتبر طريقة سريعة، فقد اثبت جونز ان كل قيم العرض التكاملية  $B, \beta, b$  تخضع للعلاقة :

$$\frac{f(\varepsilon) \text{ عرض}}{h(\varepsilon) \text{ عرض}} = \frac{\beta}{B} = \frac{\int f(\varepsilon) g(\varepsilon) d\varepsilon}{\int g(\varepsilon) d\varepsilon} \quad (16-II)$$

$$\frac{g(\varepsilon) \text{ عرض}}{h(\varepsilon) \text{ عرض}} = \frac{b}{B} = \frac{\int f(\varepsilon) g(\varepsilon) d\varepsilon}{\int f(\varepsilon) d\varepsilon} \quad (17-II)$$

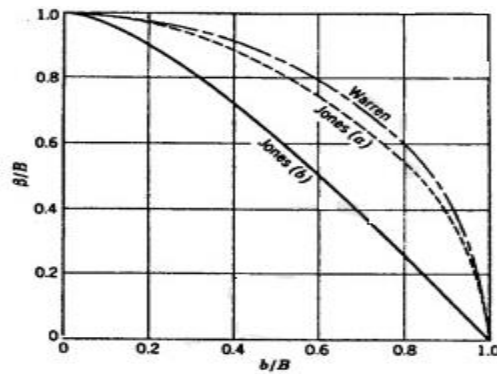
والدالة  $g(\varepsilon)$  تكون غير متغيرة في حالة ثبات الظروف العملية التي تجري عندها التجربة ، ولذلك يمكن تعيينها بقياس توزيع شدة الانعكاس لمادة يكون حجم بلوراتها كبيراً وبذلك تكون انعكاساتها لا تحتوي على عرض زائد ، وقد اجري جونز الحسابات على خط الانعكاس عند زاوية  $\theta = 80^\circ$  حتى يكون الخطان  $k\alpha, k\alpha$  منفصلين تماماً ، وبالنسبة للدالة  $f(\varepsilon)$  فقد استخدم جونز المعادلة  $(17-II)(16-II)$  للتعبير عن توزيع حجم البلورات في العينة وقام بحساب المعادلتين (17-II)(16-II) لمدى واسع من حجم البلورات وذلك بتغيير العرض لشكل الانعكاس  $f(\varepsilon)$  حتى نتحصل على المنحنيات  $b, a$  شكل (3-II) التي تعطى العلاقة بين  $b/B, \beta/B$  عندما تكون  $f(\varepsilon) = e^{-k^2 \varepsilon^2}$  ، المنحنيات  $f=1/(1+k^2 \varepsilon^2)$  بالترتيب كما يوضح الشكل طريقة وارين Warren برسم المعادلة (1-II) في شكلها :

$$\beta/B = \sqrt{(1-b^2/B^2)} \quad (18-II)$$



ويوضح الشكل (3-II) ان المنحنيات لا تختلف عن بعضها كثيرا حيث (وهو شيء متوقع) ان  $g(\epsilon)$  تبعا لطريقة Jones قريبة من توزيع جاوس Gaussian كما ان  $f(\epsilon)$  في الطريقتين تتبع توزيع جاوس .

منحنيات التصحيح لعرض خطوط الانعكاسات نتيجة لعوامل التجهيزات العملية



شكل (3-II) : عرض الانعكاسات بطريقة Jones

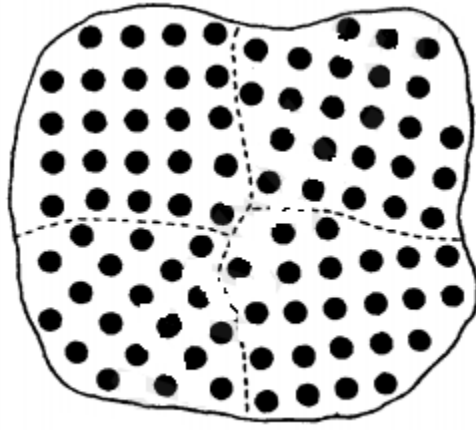
## II-6 التطبيقات العملية لقياس عرض الانعكاسات

### 1-6-II حجم البلورات الظاهري: Apparent Crystal size

يستخدم عرض خطوط أشعة الحيود كثيرا لتعيين حجم البلورات وهنا يجدر بنا الإشارة إلى أن الكمية التي تعين بهذه الطريقة هي حجم البلورات وليس حجم الحبيبات حيث أن الحبيبة الواحدة يمكن ان تحتوي على عدة بلورات (شكل II-4).

$$D_f = k\lambda / \beta \cos \theta$$

وقد قام كثير من العلماء بتقدير قيمة  $k$  حيث اعطيت قيمة كثيرة كلها تقارب الواحد الصحيح ( $k=0.89$ ) او  $1.0747$  او  $0.92$  او  $0.94$  ولذلك سميت قيم  $t$  التي نحصل عليها من المعادلة بالحجم الظاهري للبلورات [24].



الشكل (4-II): اوضاع الذرات في حبيبة تتكون من اربع بلورات صغيرة [24].

## II-6-2 العيوب التركيبية structural Faults:

إن وجود العيوب في البلورات على مستوى الذرات يمكن ان يؤدي الى وجود عرض زائد لبعض الانعكاسات و قياس هذا العرض للخطوط المختلفة يمكن ان يعطينا معلومات عن نوع هذه العيوب وتعدد حدوثها .

وقياس عرض الانعكاسات يعتبر ذا أهمية أيضا في دراسة المعادن المعرضة للتشغيل على البارد coldworked metals فمع انه من المفترض أن عرض الانعكاسات الحادث هو بالدرجة الاولى نتيجة صغر حجم البلورات الذي يحدث للمعادن بعد تشغيلها على البارد فان التجارب العملية تشير الى ان العرض الزائد للانعكاسات هو نتيجة لحدوث تشوهات في الشبكة البلورية وهو ما يسمى احيانا بالانفعال الميكروني micro strain والعلاقة بين هذا الانفعال و عرض الخطوط يمكن ان نحصل عليها بتفاضل قانون براغ  $2d \sin \theta = \lambda$  حيث نحصل على:

$$\beta = \Delta 2\theta = -2 \frac{\Delta d}{d} \tan \theta$$

وحيث ان الكمية  $\frac{\Delta d}{d}$  تحتوي على كل من انفعال الشد وانفعال الضغط فان انفعال الشد يكون مساويا

$$\varepsilon = \frac{1}{2} \frac{\Delta d}{d}$$

$$\varepsilon = \frac{B}{4 \tan \theta} \quad (27-II)$$

وعندما يكون عرض الخطوط هو نتيجة لعاملين هما صغر حجم الحبيبات والتشوه في الشبكة البلورية فان طريقة تعيين كل منهما من قياس عرض الخطوط يكون بأحد الطرق [25]:

## ا - طريقة العرض التكاملي:

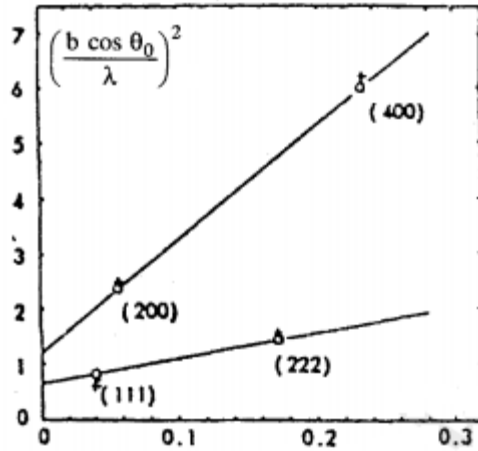
التأثير المزدوج على عرض الخطوط يعتمد على توزيع حجم الحبيبات وكذلك على توزيع الانفعال فإذا كان يتبع جاوس (Gaussian distribution) فإن المعادلة تكون :

$$\left(\frac{\beta \cos \theta}{\lambda}\right)^2 = \left(\frac{1}{\sigma}\right)^2 + \left(4\varepsilon \frac{\sin \theta}{\lambda}\right)^2 \quad (20-II)$$

وإذا كان التوزيع يتبع Cauchy فإن المعادلة تكون :

$$\frac{\beta \cos \theta}{\lambda} = \frac{1}{\sigma} + 4\varepsilon \frac{\sin \theta}{\lambda} \quad (21-II)$$

وبرسم العلاقة بين  $\left(\frac{\beta \cos \theta}{\lambda}\right)^2$ ,  $\left(\frac{\sin \theta}{\lambda}\right)^2$  او بين  $\frac{\beta \cos \theta}{\lambda}$ ,  $\frac{\sin \theta}{\lambda}$  نحصل على علاقة خطية إذا كانت الانعكاسات المستخدمة تنتمي لنفس النطاق zone حيث يعطينا ميل الخط قيمة الانفعال  $\varepsilon$  وتقاطع الخط مع المحور y يعطينا  $1/6$  على امتداد محور النطاق (zone axis)  $(\sigma)$  هي حجم الحبيبات عمودي على المستوى (hkl) شكل (5-II)[26].



$$\text{الشكل (5-II)} \quad \left(\frac{\sin \theta_0}{\lambda}\right)^2 = \left(\frac{h_0}{2a}\right)^2 \quad [26].$$

## ب- طريقة الاختلاف: Variance method

يعرف الاختلاف (variance)  $W(2\theta)$  في شكل خط الانعكاس على أنه العزم الثاني حول مركز الثقل center of gravity حيث يؤخذ مركز الثقل على أنه مقياس لموقع الخط ويكون متوسط مربع الانحراف (البعد) عن مركز الثقل هو:

$$W(2\theta) = \frac{\int (2\theta - \langle 2\theta \rangle)^2 I(2\theta) d(2\theta)}{\int I(2\theta) d(2\theta)} \quad (27-II)$$

حيث  $\langle 2\theta \rangle$  هو مكان مركز التماثل الذي يعطي بالمعادلة:

$$\langle 2\theta \rangle = \frac{\int 2\theta I(2\theta) d(2\theta)}{\int I(2\theta) d(2\theta)} \quad (23-II)$$

وقد وضع ولسون Wilson افتراض ان الاختلاف (variance) الحقيقي يمكن ان يعطي بالمعادلة:

$$W_s = W_h - W_g \quad (24-II)$$

حيث  $W_s$  هو الاختلاف الحقيقي True Variance.

$W_h$  هو الاختلاف المقاس من شدة الانعكاس المشاهد عمليا.

$W_g$  هو الاختلاف نتيجة تجهيزات القياس.

والاختلاف الحقيقي هو مجموع الاختلاف نتيجة صغر حجم الحبيبات particle size variance

والاختلاف نتيجة الانفعال strain variance وقد وضع ولسون المعادلة التالية:

$$W(s) = w(2\theta) \frac{\cos^2 \theta}{\lambda^2} \quad (25-II)$$

$$W(s) = \frac{\cos \theta \Delta 2\theta}{2\pi^2 \lambda} \frac{1}{Dv(hkl)} + (\varepsilon v^2) \quad (26-II)$$

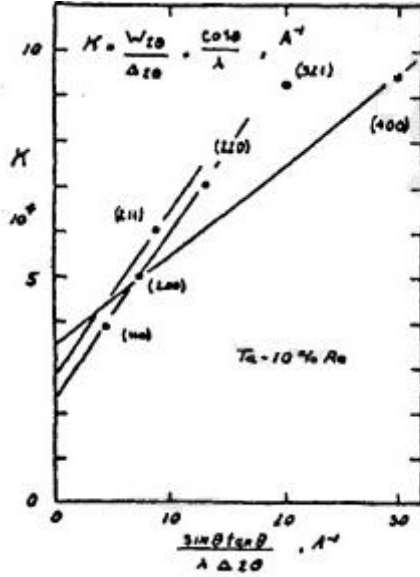
$$\frac{w(2\theta) \cos \theta}{\lambda \Delta 2\theta} = \frac{1}{2\pi^2 Dv(hkl)} + 4(\varepsilon^2 v) \frac{\sin \theta \tan \theta}{\lambda \Delta 2\theta} \quad (27-II)$$

حيث  $\varepsilon v$  هو الاختلاف نتيجة الانفعال.

$D_v$  هو الاختلاف نتيجة صغر حجم الحبيبات.

وبرسم العلاقة بين  $\frac{\sin \theta \tan \theta}{\lambda \Delta 2\theta}$ ،  $\frac{w(2\theta) \cos \theta}{\lambda \Delta 2\theta}$  نحصل على خط مستقيم حيث يكون تقاطعه مع المحور

الرأسي يعطي الكمية  $\frac{1}{2\pi^2 Dv(hkl)}$  وميل الخط مساويا للكمية  $4(\varepsilon^2 v)$  الشكل (6-II) [27].



شكل (6-II)

## 7-II طريقة وارين - أفرباخ: Warren - Averbach Méthode

أوضح وارين سنة 1958 ان توزيع الطاقة لوحدة اطوال شعاع الحيود الذي نحصل عليه عمليا بعد تصحيحه لتأثير التجهيزات العملية يعطى بالمعادلة :

$$P'(2\theta) = k(\theta) \sum_{-\infty}^{\infty} n [(A_L \cos 2\pi L(s-s_0) + B_L \sin 2\pi L(s-s_0))] \quad (28-II)$$

حيث  $s = 2\sin\theta/\lambda$ ,  $s_0 = 2\sin\theta_0/\lambda$  هي المسافة العمودية على مستوى الانعكاس (hkl) وهي تساوي  $na_3$  حيث  $\frac{1}{d} \propto a_3$  عدد صحيح والدالة  $A_L$  هي معامل فورييه الحقيقي وتمثل حاصل ضرب معامل حجم الحبيبات ومعامل الانفعال أي :

$$A_L = A^S A^D(l, s) \quad (29-II)$$

الشكل اللوغاريتمي للمعادلة (29-II) هو :

$$\ln A(L) = \ln A^S + \ln A^D$$

وفي حالة البلورات المكعبة تكون :

$$\ln A_L = \ln A^S(L) - h^2_0 [2\pi^2 L^2 ((\epsilon_L^2) - (\epsilon_L)^2) / a^2] \quad (30-II)$$

حيث:

$$h_0^2 = h^2 + k^2 + l^2 \quad (31-II)$$

ولأجل أن نعين معاملات فوريير  $A_L$  وتصحيحها لأخطاء عرض الخطوط نتيجة التجهيزات العملية نتبع طريقة ستوكس ونقسم القيمة  $K\alpha_1$  إلى عدد من الأقسام المتساوية. ويراعي أن يكون المدى  $2\theta_1$  ثابتاً للانعكاس الواحد لكل من الخط العريض والخط العياري، والانعكاسات يجب أن تصحح لعوامل الاستقطاب والعوامل الأخرى التي تعتمد على  $\theta$  الموجودة في المعادلة (28-II) وذلك بالقسمة على:

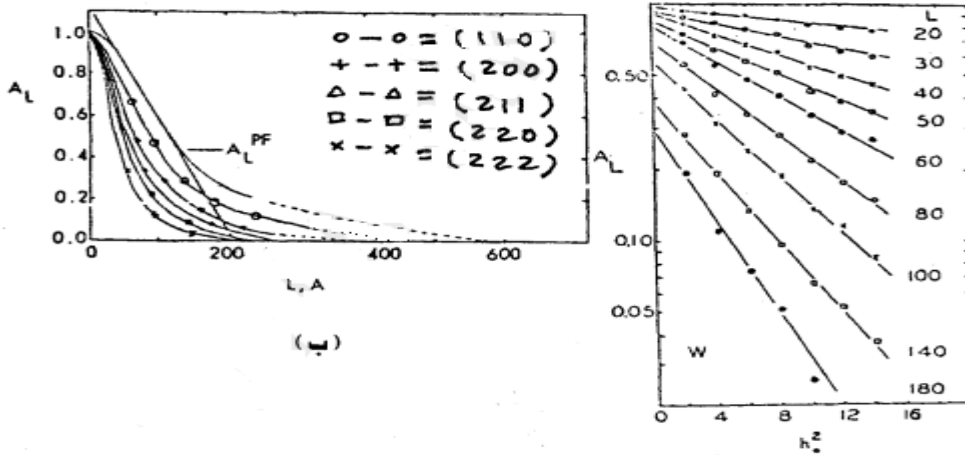
$$f \frac{1 + \cos^2 2\theta}{\sin^2 \theta \cos \theta}$$

حيث  $f$  هو معامل الاستطارة الذري،  $\theta$  هي موقع مركز ثقل القمة  $K\alpha_1$  ولفصل معاملات حجم الحبيبات والانفعال للمعادلة (29-II) ترسم العلاقة بين  $\ln A_L$  مع  $h_0^2$  او العلاقة بين  $A(L)$ ،  $h_0^2$  على ورق شبه لوغاريتمي (semi-log) شكل (7-II) (1)

فإذا كانت المادة متساوية الخواص في جميع الاتجاهات isotropic نحصل على خط مستقيم .

وإذا كانت المادة غير ذلك anisotropic فيجب استخدام الانعكاسات من نفس النطاق (zone) وفي هذه الحالة يكون تقاطع الخط البياني مع المحور  $A(L)$  مساوياً لمعامل حجم الحبيبات  $A_s$  وإذا رسمت هذه القيم كدالة للقيم  $L$  فان ميل المماس للخط  $A^s$  مع  $L$  يكون مقياساً لحجم الحبيبات  $D_f$  شكل (7-II) (ب) [28].

$$1/D_f = -[dA^s(L)/dL]_{L=0}$$



(1)

شكل (7-II). حساب البعد الحبيبي

## II- 8- النسيج الليفي: Fibre texture

تكون البلورات المنفردة في الاسلاك مرتبة بحيث أن نفس الاتجاه  $[u v w]$  في معظم الحبيبات يكون متوازيا أو اقرب ما يمكن للتوازي في اتجاه محور السلك، ولأن نسيجا مشابها يحدث في الالياف الطبيعية و الصناعية فإنه يسمى نسيجا ليفيا (يسمى محور السلك المحور الليفي) و المواد التي لها نسيج ليفي يكون لها تماثل دوراني حول محور بمفهوم أن كل اتجاهات البلورات حول هذا المحور يكون احتمال وجودها متساويا ، ولذلك فإن النسيج الليفي يكون متوقعا في كل مادة متكونة بواسطة قوى لها تماثل دوراني حول محور . مثال ذلك في سلك أو قضيب مصنع بواسطة الشد drawing أو الطرق swaging أو لسحب extrusion وتكون أمثلة أقل شيوعا للنسيج الليفي وهي الموجودة في الشرائح المتكونة بواسطة الانضغاط البسيط وفي عملية الطلاء بالكهرباء electroplating والتبخير وغير ذلك ، ويكون المحور الليفي في هذه الحالات عموديا على مستوى الشريحة وموازيا لمحور اعمدة البلورات . وقد لوحظ ان نسيج الالياف يختلف في درجة المثالية أي في التشتت من الاتجاه  $[u v w]$  حول محور الليفة وكل من النسيج الليفي الاوحد و المزدوج ، فأسلاك الالمنيوم المسحوبة على البارد يكون نسيجها هو  $[1 1 1]$  تقريبا ولكن النحاس يكون نسيجه مزدوجا من مجموع  $[1 1 1]$  على  $[1 0 0]$  أي أنه في أسلاك النحاس توجد مجموعتان من الحبيبات ، ويكون المحور الليفي لأحد المجموعات  $[1 1 1]$  وللمجموعة الأخرى  $[1 0 0]$  [29].

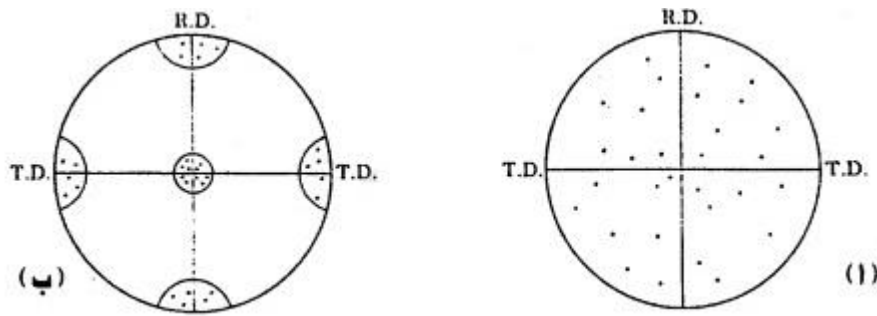
## II- 9- النسيج الشريحي: Sheet Texture

يتكون النسيج الشريحي بحيث تكون الحبيبات مرتبة بمستويات معينة  $(hkl)$  موازيا تقريبا لسطح الشريحة وبحيث يكون اتجاه معين  $[u v w]$  في هذا المستوى متوازيا تقريبا مع الاتجاه الذي رقت فيه الشريحة، ولا توجد مثل هذه الحرية الدورانية لاتجاه الحبيبات الموجودة في الانسجة يمكن الليفية والرمز  $[u v w]$   $(hkl)$  يصف ما يسمى بالاتجاه المثالي وبعض المعادن و السبائك يكون لها نسيج شريحي احاد جدا بحيث يمكن وصفه بذكر الاتجاه المثالي للحبيبات فيه [30].

## II- 10- مسقط ستيروجرافي stereographic projection

هو مسقط شكل فراغي له اتجاه محدد بالنسبة للعينة وهو يوضح تغير كثافة الاقطاب مع اتجاهها لمجموعة من مستويات البلورة ، وهذه الطريقة لوصف النسيج استخدمت في بادئ الامر بواسطة العالم الالمانى لعلم المعادن waver في سنة 1924 ومعناه يمكن توضيحه بالمثال التالي :

نفترض أن عندنا شريحة من معدن ينتمي للنظام المكعبي ونفترض أن العينة من حبيبات كبيرة الحجم عددها عشرة فقط، فإذا أردنا تمثيل الاتجاهات لهذه الحبيبات جملة برسم أماكن الاقطاب  $[1\ 0\ 0]$  لها في مسقط ستير وجرافي stereographic projection بحيث يكون مستوى المسقط موازي لسطح العينة، وحيث أن كل حبيبة لها ثلاثة اقطاب  $[1\ 0\ 0]$  فإن ذلك ينتج  $3 \times 10 = 30$  قطب مرسوم على المسقط فإذا كانت الحبيبات لها اتجاهات عشوائية كلية فإن هذه الاقطاب تكون موزعة بطريقة متجانسة في المسقط كما هو موضح بالشكل (1-II-8) ولكن إذا كان يوجد اتجاه مفضل للحبيبات فإن الاقطاب تميل لأن تكون متجمعة مع بعضها البعض في مساحات معينة في المستوى تاركة مساحات اخرى بدون اقطاب [31].



شكل (8-II) المسقط ستير وجرافي stereographic projection

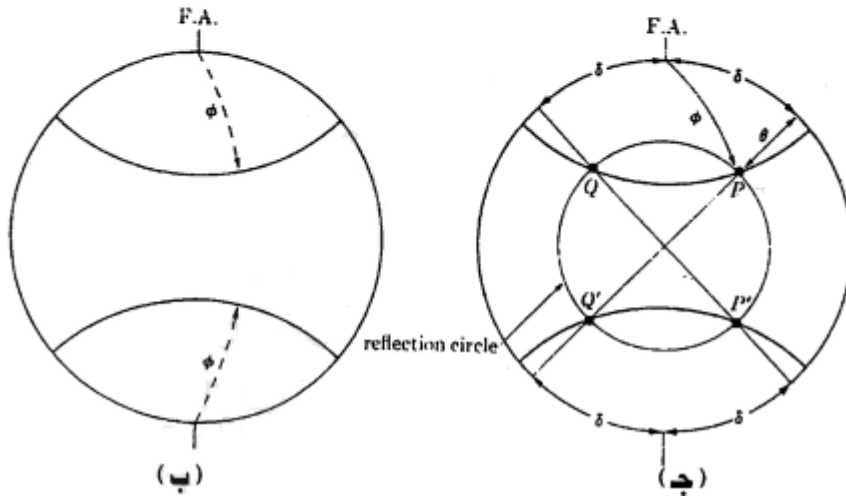
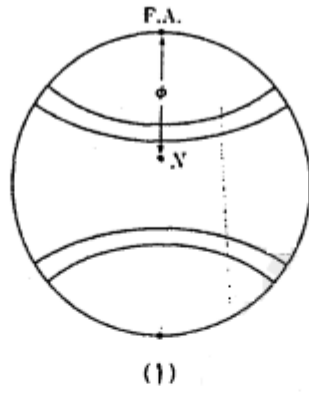
مسقط ستير وجرافي لمادة على هيئة شريحة توضح

(أ) اتجاهات عشوائية (ب) اتجاه مفضل

وعلى سبيل المثال يمكن أن يكون هذا التجمع مثل الموضح بشكل (8-II-ب) وهذا يسمى نسيجاً مكعبي، لأن كل حبيبة يكون اتجاهها بحيث أن المستويات  $(100)$  تكون موازية لسطح الشريحة والاتجاه  $[0\ 1\ 0]$  يكون موازياً لاتجاه التدرج (اللف) rolling (هذا النسيج البسيط الذي يمكن وصفه بالرمز المختصر  $[0\ 0\ 1]$   $[1\ 0\ 0]$ ) يتكون عادة نتيجة عملية إعادة تبلور في معظم المعادن ذات النظام المكعبي المتمركز الأوجه).

الشكل القطبي للنسيج الليفي يكون بالضرورة له تماثل دوراني حول المحور الليفي (شكل 9-II) ودرجة التشنت لهذا النسيج تعطى بالعرض الزاوي للنطاقات التي تظهر عند أماكن القطب  $(1\ 1\ 1)$  والزاوية  $\phi$  هي الزاوية بين المحور الليفي ومكان أي قطب  $N$  وبالنسبة للنسيج الموضح تكون النطاقات متمركزة على قيم  $\phi$  أي التي تقاس و أسفل المسقط بالقيمة  $54,7$  لأن هذه هي الزاوية بين المحور  $[0\ 0\ 1]$  والاقطاب  $(1\ 1\ 1)$  (انظر الأشكال 10-II, 11-II)



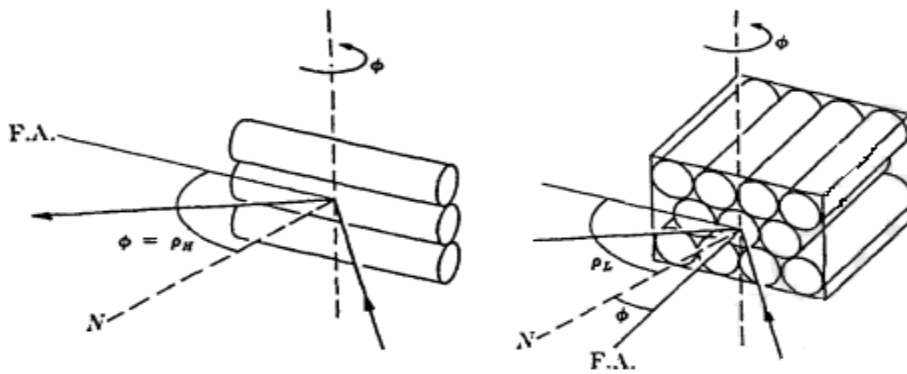


شكل (9-II) تماثل دوراني حول المحور الليفي

(ا) شكل قطبي لنسيج ليفي 100 غير مثالي.

(ب) شكل قطبي لنسيج ليفي 100 مثالي .

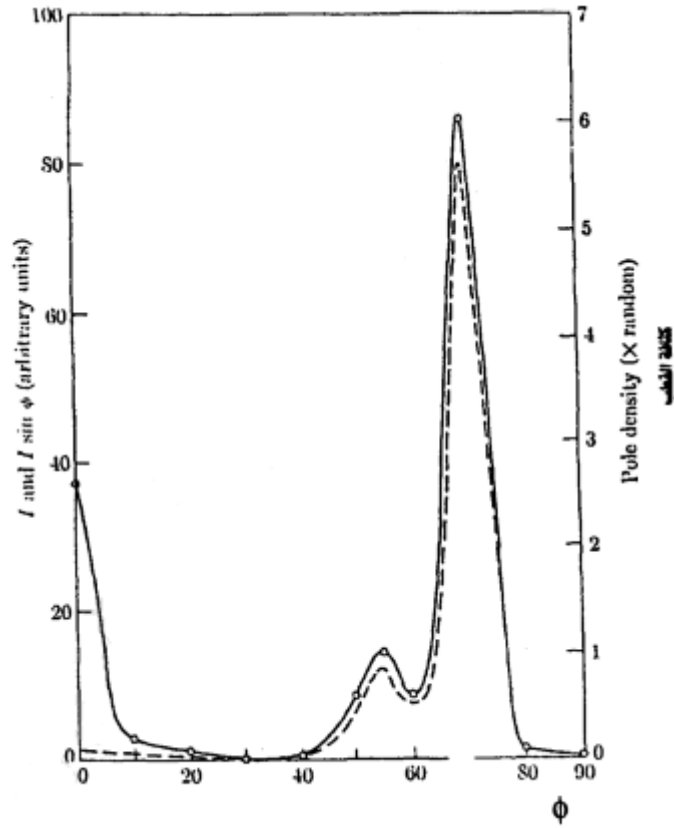
(ج) تحديد اوضاع الاعمدة على المستويات.



شكل (10-II) الشكل القطبي للنسيج الليفي

الانعكاس من عينة مكونة من مجموعة من الاسلاك  $\phi$  هي الزاوية بين المحور الليفي F. A.

والعمودي على مستويات الانعكاس  $N$ .  $\rho$  هي الزاوية بين  $N$  و سطح العينة



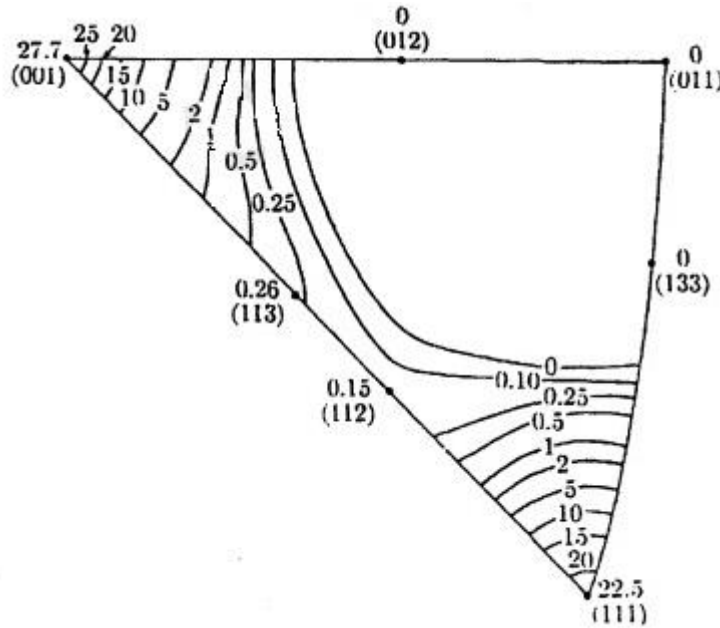
شكل (11-II) الشكل القطبي للنسيج الليفي

ورغم أن الشكل القطبي (pole figure) هو فقط الذي يعطينا معلومات كاملة عن الاتجاه المفضل للبلورات داخل عينة المسحوق إلا أنه يمكن الحصول على معلومات سريعة وذلك بمقارنة شدة اشعة الحيود المحسوبة نظريا بتلك المقاسة عمليا بجهاز تسجيل الحيود حيث ان شدة الاشعة المعطاة بالمعادلة (10-1) تكون دقيقة فقط عندما يكون الترتيب للبلورات في العينة ترتيب عشوائي ولذلك فإن أي عدم توافق بين شدة الاشعة المقاسة عمليا والمحسوبة نظريا يكون دليلا على وجود اتجاه مفضل للبلورات [32].

## 11-II الشكل القطبي العكسي: Inverse Pole Figures

بينما يوضح الشكل القطبي توزيع اتجاه بلوري مختار بالنسبة لاتجاهات معينة في العينة فإن معلومات عن النسيج يمكن أيضا الحصول عليها مما يسمى الشكل القطبي العكسي الذي يوضح توزيع اتجاه بلوري معين في العينة بالنسبة لمحاور البلورة ، وعلى هذا يكون مستوى المسقط للشكل القطبي العكسي هو مسقط عياري (standard) للبلورة حيث يكفي توضيح الوحدة الاستيروغرافية المثلثة

والشكل (12-II) هو شكل قطبي عكسي للنسيج الداخلي لقضيب من الألمنيوم يوضح توزيع كثافة محور القضيب.



الشكل (12-II): شكل قطبي عكسي لقضيب من الألمنيوم

وقد ادخل تعبير الشكل القطبي العكسي بواسطة هاريس harris لوصف النسبة الحجمية P لمادة ما في أوضاع عديدة (اتجاهات عديدة) بالنسبة للمحور الليفي في عينة لها نسيج ليفي .

وطريقة هاريس تعتمد على قياس شدة انعكاس الأشعة السينية من المستويات البلورية المختلفة التي تقع موازية لسطح العينة (في حالة القضيب تكون مستويات القضيب التي تقع عمودية على محور القضيب) وشدة الانعكاسات من مستويات مشابهة من عينة عشوائية . وقد استخدمت هذه القياسات للشدة كوحدات لقياس شدة الانعكاسات من العينات التي يكون لها نسيج (اتجاه مفصل) وقد استخدم ميللر المعادلة الآتية لشدة الانعكاس التكاملية Integrated intensity .

$$I_{(hkl)} = CI_0 ALN_{hkl} |F_{hkl}|^2 P_{hkl} \quad (32-II)$$

حيث C كمية ثابتة للعينة الواحدة ,  $I_0$  شدة الأشعة الساقطة والقيم A ،  $N_{hkl}$  ،  $|F_{hkl}|$  هي معامل الامتصاص ، معامل لورنتز والاستقطاب ، معامل التركيب ومعامل التضاعف (multiplicity) على الترتيب .

أما  $P_{hkl}$  فهي نسبة جزء البلورات التي تكون اعمدة مستوياتها (hkl) موازية لمحور الليفة وتكون قيم  $P_{hkl}$  بوحدات تجعل القيمة المتوسطة لجميع الاتجاهات مساوية للوحدة .

$$\bar{P} = \frac{1}{4\pi} \int P_{hkl} d\Omega = 1 \quad (33-II)$$

أي أن العينة التي تكون حبيباتها عشوائية الاتجاهات تكون قيمة P في كل اتجاه مساوية لقيمة  $\bar{P}$  وفي العينة ذات النسيج (التي يكون لها اتجاه مفضل لحبيباتها) فإنه يعبر عن كثافة الاقطاب (pole densities) بدلالة الكثافة في العينة العشوائية لنفس المادة ، وتصبح المعادلة (32-II) في حالة العينة ذات الترتيب العشوائي كالآتي [33]:

$$I_r(hkl) = C_r I_0 A L N_{hkl} |F_{hkl}|^2 \quad (34-II)$$

وبقسمة المعادلة (32-II) على المعادلة (34-II) نحصل على النسبة  $C/C_r$

$$\frac{I(hkl)}{I_r(hkl)} = \frac{C}{C_r} p(hkl) \quad (35-II)$$

وإذا طبقت المعادلة (39-II) على عدد كبير من الانعكاسات فإنه يمكن حساب الكمية :

$$\frac{1}{n} \sum \frac{I(hkl)}{I_r(hkl)} = \frac{C}{C_r} \frac{\sum P(hkl)}{n} \quad (36-II)$$

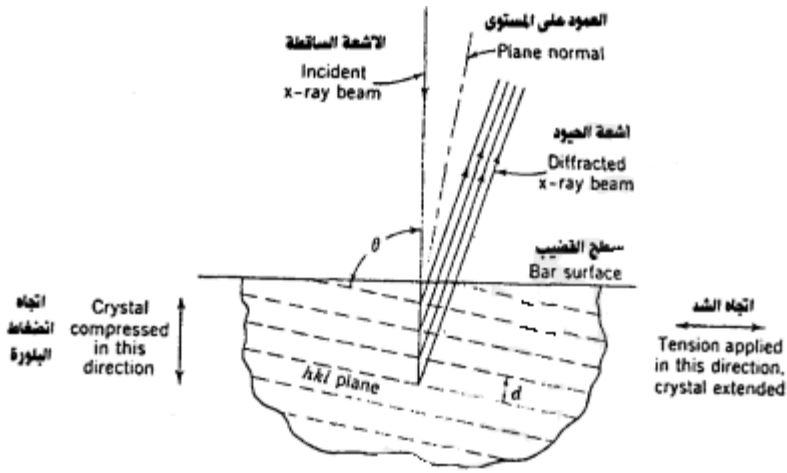
ويمكن اعتبار الكمية الآتية مساوية للواحد الصحيح  $\sum P(hkl)/n$  وذلك إذا كانت قيمة n كبيرة وبذلك تصبح المعادلة (36-II) كالآتي :

$$\frac{C}{C_r} = \frac{1}{n} \sum \frac{I(hkl)}{I_r(hkl)} \quad (37-II)$$

وتصبح المعادلة (35-II) كالآتي:

$$P_{(hkl)} = \frac{I(hkl)}{I_r(hkl)} / \frac{1}{n} \sum \frac{I(hkl)}{I_r(hkl)} \quad (38-II)$$

## 12-II قياس الإجهاد:



شكل (13-II) انعكاس خلفي لأشعة اكس من سطح بلوري لقضيب معدني [33].

نظريات الإجهاد والانفعال يمكن دراستها بالتغير في ابعاد قضيب معدني عندما يعرض لعملية شد على طول محوره فتحت تأثير هذا الاجهاد يستطيل القضيب وتقل مساحة مقطعه حيث يتناسب هذا مع قيمة الاجهاد المؤثر ، وذلك بفرض أننا لم نتجاوز الحد المرن وتكون محصلة التأثير على كل بلورة صغيرة في القضيب هي تمدده في الاتجاه الموازي لمحور القضيب وتضاغط في الاتجاهات العمودية و المستويات البلورية العمودية على قوى الشد أو الضغط تتغير مسافات البنية بقيم  $\Delta d$  وقياس هذه التغيرات يعطينا مقياس الانفعال المرن وبالتالي الاجهاد المرن .

يعتبر قياس الاجهاد باستخدام حيود الاشعة السينية شكل (13-II) له مميزات محددة ، ففي المقام الأول هي طريقة غير هدامة لتعيين الاجهاد الاولي أو الداخلي في عينة بدون تقطيعها ، وهذا شيء ممكن لأنه ليس من الضروري اجراء القياسات للعينة في حالتها غير المعرضة للإجهاد وهو الشيء المطلوب في الطرق الاخرى المستخدمة لتعيين الاجهاد ، هذا بالإضافة إلى أن هذه الطريقة تقيس الانفعال عند نقطة عادة لا يزيد قطرها عن 1mm الى 2mm وهذا يجعل دراسة الاجهاد عند نقطة معينة شيء ممكناً [34] .

في مقابل للمميزات السابقة توجد حقيقة اننا لا نحصل على دقة كبيرة إلا إذا كان حجم الحبيبات ليس كبيراً جداً أو صغيراً جداً ، واحد العيوب الاخرى هي اننا لا نستطيع إلا قياس الاجهاد السطحي نتيجة لعدم قدرة الاشعة السينية على اختراق المعدن لعمق اكثر من 0.001 بوصة ، وتبعاً لنظرية الكلاسيكية وبفرض أن الانفعال صغير بحيث لا يحدث تغير للمادة في شكلها أو ابعادها فالانفعال  $e$  يعرف بأنه :

$$e = \Delta l / l \quad (39-II)$$

حيث  $\Delta l$  هو التغير في الطول للجسم الذي طوله  $l$  وإذا كان هذا الانفعال يحدث نتيجة اجهاد قيمته  $\sigma$  ويعمل في اتجاه واحد فانه تبعا لقانون هوك تكون :

$$e = \sigma / E \quad (40-III)$$

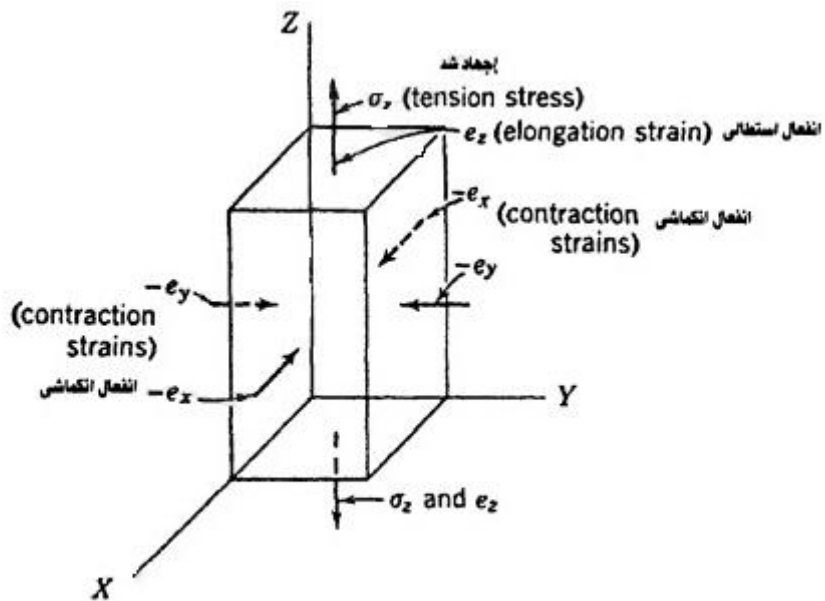
حيث  $E$  هو معامل يونغ Young's modulus وإذا شد الجسم على امتداد المحور  $Z$  شكل (14-II) فإنه يستطيل في الاتجاه  $Z$  و يكون الانفعال هو  $e_z$  حيث :

$$e_z = \sigma_z / E \quad (41-III)$$

وفي نفس الوقت ينكمش الجسم بنفس القيمة على امتداد المحاور  $X, Y$  وهذه الانفعالات ترتبط بالانفعال  $e_z$  خلال نسبة بواسون Poisson's ratio كالآتي :

$$-e_x = -e_y = \nu e_z = \nu \sigma_z / E \quad (42-III)$$

والإشارة السالبة تعني ان الانفعال هو انكماش.



شكل (14-II) اتجاه الاجهاد في اتجاه واحد والانفعال للنظام ثلاثي

ومثل هذا الاجهاد يعتبر اجهاد في اتجاه واحد والانفعال للنظام ثلاثي الابعاد يعطي بالمعادلات :

$$e_x = 1/E [\sigma_x - \nu (\sigma_y + \sigma_z)]$$

$$e_y = 1/E [\sigma_y - \nu (\sigma_z + \sigma_x)] \quad (43-III)$$

$$e_z = 1/E [\sigma_z - \nu (\sigma_x + \sigma_y)]$$

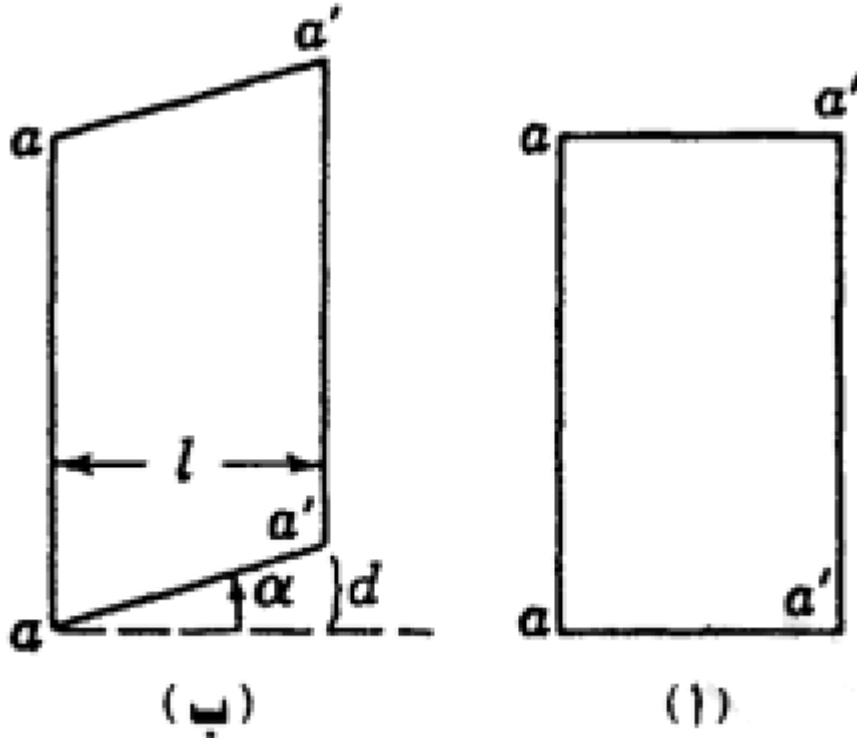
الانفعالات المذكورة تعتبر انفعالات عمودية حيث انها تنشأ نتيجة اجهادات عمودية على السطح . وفي المعتاد تكون مثل هذه الانفعالات العمودية مصحوبة بانفعالات إضافية وهي انفعالات القص shearstrains في المستوى العمودي لاتجاه الاجهاد واجهاد القص يجعل المستويات المتوازية في الجسم تنزلق على بعضها كما هو موضح في الشكل (15-II) ويعرف انفعال القص  $\gamma$  على أنه الازاحة للمستويات المتوازية عند وحدة المسافة .

$$\gamma = d/l = \tan \alpha \quad (44-III)$$

العلاقة بين اجهاد القص  $\tau$  تعطي المعادلة :

$$\gamma = \tau/G \quad (45-III)$$

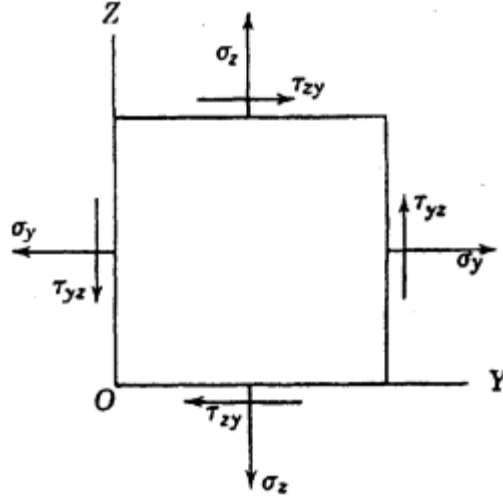
حيث  $G$  هي معامل المرونة في القص .



شكل (15-II) العلاقة بين الإجهاد والانفعال العمودي لنظام في بعدين

يوضح شكل (16-II) العلاقة بين الإجهاد والانفعال العمودي لنظام في بعدين . الرمز  $\tau_{ZYX}$  يعني إجهاد القص العمودي على المحور Z الذي يعمل في اتجاه المحور Y وتحت ظروف الاتزان تكون :

$$\tau_{ZY} = \tau_{YZ} \quad (46-III)$$



شكل (16-2): العلاقة بين الإجهاد والانفعال العمودي لنظام في بعدين

ولذلك فإن القيم الثلاث اللازمة لتعريف النظام هي  $\tau_{YZ}$  و  $\sigma_Z$  و  $\sigma_Y$  أما نظام الإجهاد ثلاثي الأبعاد ، فمن الواضح أنه يحتوي على ثلاثة أنظمة ثنائية الأبعاد ، وفي هذه الحالة لا نحتاج إلا إلى ستة معاملات للإجهاد لتعريف حالة الإجهاد في الجسم الصلب إلا وهي :

$$\sigma_X , \sigma_Y , \sigma_Z , \tau_{XY} , \tau_{YZ} , \tau_{ZX}$$

هذه الإجهادات العمودية لا تكون بالضرورة أكبر إجهادات عمودية داخل الجسم ، وهذه الأخيرة تسمى الإجهادات الرئيسية  $\sigma_1 , \sigma_2 , \sigma_3$  التي غالباً ما تكون موازية لمحاور الأحداثيات المتعامدة والعلاقة بين الإجهادات الرئيسية و الانفعالات الرئيسية  $e_1 , e_2 , e_3$  تكون مشابهة للعلاقات السابقة فإذا أخذت الإجهادات الرئيسية موازية للمحاور المتعامدة X ، Y ، Z ، فإن معاملة القطع الناقص المجسم للإجهاد stress ellipsoid يمكن ان تكتب كالاتي :

$$\frac{X^2}{\sigma_1^2} + \frac{Y^2}{\sigma_2^2} + \frac{Z^2}{\sigma_3^2} = 1 \quad (47-III)$$

وأي نقطة  $X_n , Y_n , Z_n$  على سطح هذا القطع الناقص المجسم تمثل معاملات الإجهاد العمودي  $\sigma_n$  وتعطي بالمعادلة :

$$\sigma_n = \sigma_1 \alpha_1^2 + \sigma_2 \alpha_2^2 + \sigma_3 \alpha_3^2 \quad (48-III)$$



حيث  $\alpha_1$  ،  $\alpha_2$  ،  $\alpha_3$  هي جيوب تمام الزوايا بين اتجاه الاجهاد العمودي  $\sigma_n$  والمحاور الرئيسية للانفعال .

ويمكن كتابة المعادلة التالية للتعبير عن القطع الناقص المجسم للانفعال [35] .

$$\sigma_n = e_1 \alpha_1^2 + e_2 \alpha_2^2 + e_3 \alpha_3^2 \quad (49-III)$$

## 13-II مثال عن الجداء المختلط Convolution :

الجداء المختلط بين دالتي رياضيتين  $f(y)$  ،  $g(y)$  هي دالة ثالثة تعطى بالمعادلة :

$$c(x) = \int_y f(y)g(x-y)dy$$

ولحساب هذه الدالة نضع مركز الدالة الاولى دوريا على كل مكان من الدالة الثانية ، وفي كل مرة نضرب قيمة الدالة الاولى في كل وضع في قيمة الدالة الثانية عند هذه النقطة ثم تجمع كل هذه القيم أي أن التعانق بين دالتي  $f(y)$  ،  $g(y)$  عند نقطة  $x_0$  نحصل عليه بضرب قيم  $f(y)$  ،  $g(x_0-y)$  لكل مجموعة من القيم الممكنة ل  $x$  وبعد ذلك نجمع كل نواتج حاصل الضرب وهذه العملية تكرر لكل قيم  $x$ .

## الفصل الثالث

مناقشة النتائج المتحصل عليها

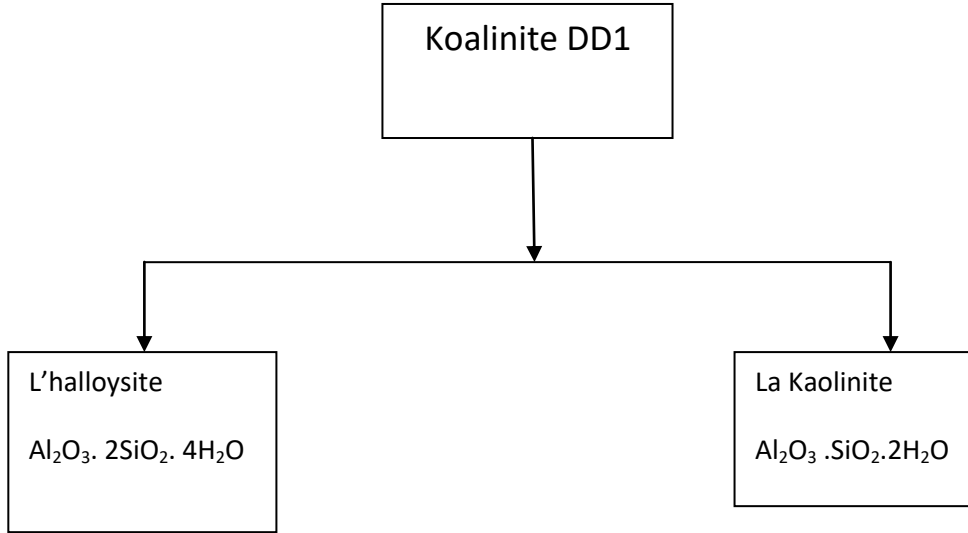
### III مقدمة:

كاولن جبال دباخ (الموجود بمدينة قالمة) يسمى الكاولن DD1 وهو يتكون من طورين رئيسيين هما الكاولينيت ذو الصيغة  $Al_2O_3 \cdot SiO_2 \cdot 2H_2O$  و الهالوزيت ذو الصيغة  $Al_2O_3 \cdot 2SiO_2 \cdot 4H_2O$ .  
التركيب الكيميائي المعطاة في الجدول التالي :

	$SiO_2$	$Al_2O_3$	Total impuretés
Kaolin DD1	55	44,5-45	<1

الجدول III -1: التركيب الكيميائي للكاولن DD1

الرسم III-1: مختلف الأطوار الموجودة في الكاولن DD1



لقد ارتكزنا في هذا العمل على دراسة طور الكاولينيت .

### III-1 النتائج المتحصل عليها:

#### III-1-1 مختلف الأطوار التي يتكون منها الكاولن DD1

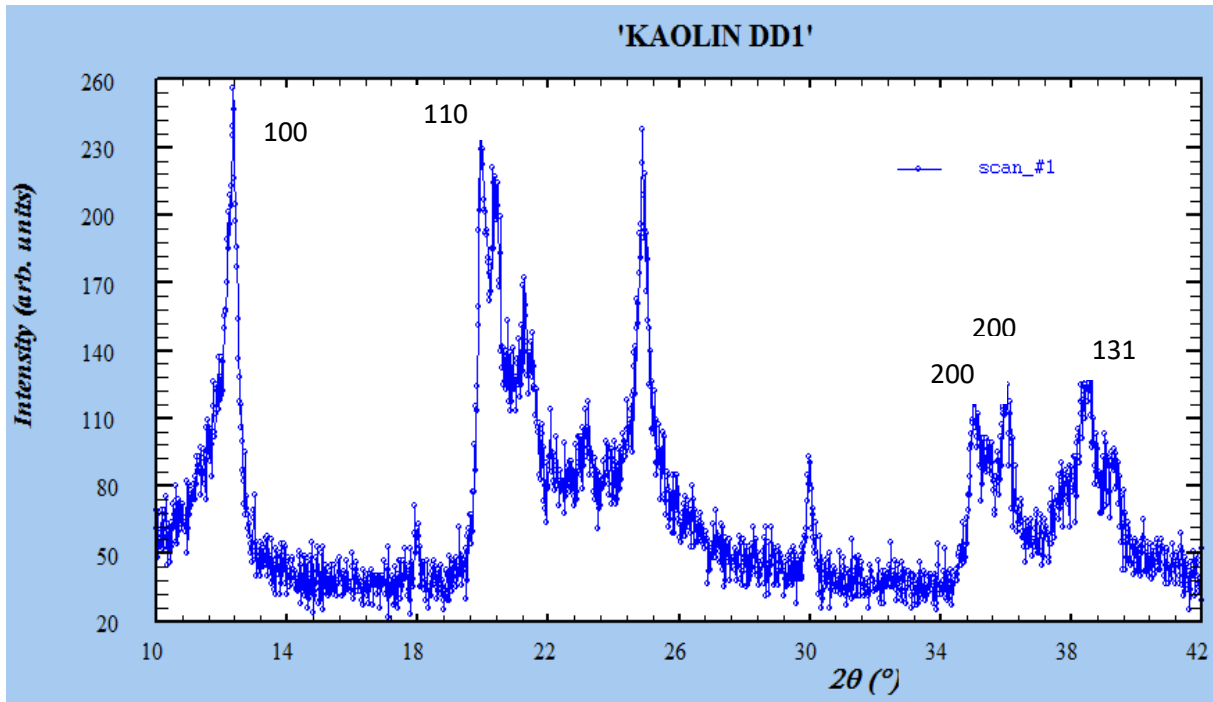
تحليل النوعي بواسطة الأشعة السينية تبين انطلاقا من مستويات الانعراج ان الكاولن DD1 يتكون من طورين المذكورين في الجدول التالي :

الطور	(hkl)	$2\theta$
L'halloysite	(110)	19.90
	(200)	35.02
La kaolinite	(100)	12.36
	(200)	36.06
	(131)	39.30

الجدول (2-III): مستويات الانعراج للأطوار الأساسية الموجودة في الكاولن DD1.

### III-1-2 مخطط انعراج الأشعة السينية :

مخطط انعراج للأشعة السينية تم الحصول عليه بواسطة جهاز الانعراج الأشعة السينية RX الموجود على مستوى وحدة البحث لقسم الفيزياء لجامعة محمد بوضياف لمسيلىة . مخطط الانعراج للكاولن DD1 ممثل على الشكل III-2-



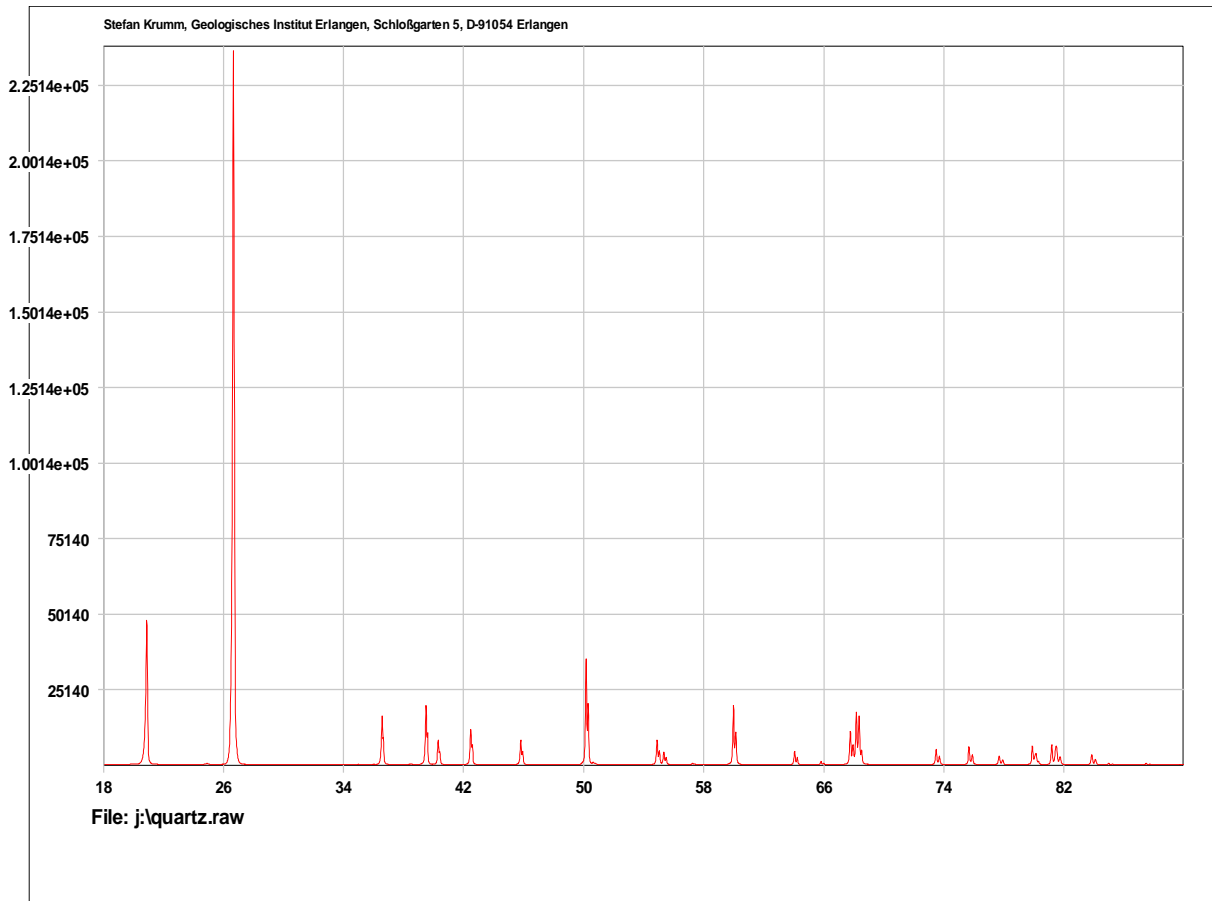
الرسم 2-III: مخطط الانعراج للكاولن DD1.

### III-1-3 مخطط الانعراج لمسحوق الكوارتز:

نتائج التحليل مخطط الكوارتز مدونة في الجدول.

h	k	l	$2\theta_g$ Bragg	$2w_g$	$\beta_g$	$\Phi_g$
1	0	0	20.843	0.051	0.069	0.739
1	0	1	26.631	0.055	0.066	0.833
1	1	0	36.529	0.050	0.059	0.847
1	1	1	40.276	0.059	0.070	0.843
2	0	0	42.440	0.065	0.077	0.844
1	1	2	50.126	0.070	0.085	0.823
0	0	3	54.854	0.071	0.083	0.855
2	1	1	59.947	0.072	0.088	0.818
1	1	3	64.019	0.080	0.096	0.833
2	0	3	68.133	0.079	0.095	0.831
1	0	4	73.461	0.089	0.012	0.795
2	1	3	79.884	0.097	0.119	0.815
3	1	0	81.471	0.121	0.141	0.858
3	1	1	83.803	0.123	0.149	0.825
3	1	2	90.793	0.131	0.160	0.819
1	0	5	94.633	0.121	0.146	0.829

الجدول III-3: خصائص مختلف الاهداب لمخطط الانعراج للكوارتز.



الرسم III-3: مخطط الانعراج لمسحوق لكوارتز .

### III-1-4 معالجة مخطط الانعراج:

لمعالجة مخطط الانعراج اعتمدنا على برنامج Winfit وبرنامج WinPlot. خصائص اهداب مخطط

الانعراج للكاولن DD1 مدونة في الجدول III-3

$2\theta_M$	12.36	24.86	35.02	36.06	39.30
$I_{max}$	104	140	53	69	123
Surface (s)	63	98	24	32	64
FWHM ( $2\omega$ )	0.428	0.408	0.249	0.409	0.471
Largeur intégrale $\beta$	0.602	0.698	0.448	0.467	0.423
Exposant - gauche	0.203	0.777	0.992	0.257	0.152

Exposant-droite	0.216	0.800	0.890	0.254	0.131
FWHM -.gauche	0.212	0.202	0.123	0.203	0.229
FWHM -droite	0.216	0.206	0.126	0.206	0.242
$\beta$ - gauche	0.300	0.340	0.227	0.247	0.211
$\beta$ -droite	0.302	0.358	0.221	0.220	0.212

الجدول (III3-): خصائص مختلف الاهداب للكاولن DD1

### III-1-5 تحديد البنية البلورية

لتحديد البنية البلورية نستخدم برنامج Digvol وهو عبارة عن برنامج يحتاج الى ملف in الذي نقوم بإدخال جميع زوايا الانعراج .بعد تشغيل البرنامج نتحصل على ملف out الذي يحتوي على المعلومات التالية :

النظام البلوري : ثلاثية الميل

ثوابت الخلية :

$$a=11.62934$$

$$b= 11.62934$$

$$c=14.46805$$

$2\theta$	(hkl)	$D_{obs}$	$D_{cal}$	$D_{obs} - D_{cal}$	$2\theta_{cal}$
12.360	(111)	7.15543	7.15517	0.00026	12.360
19.904	(103)	4.45804	4.45714	0.00090	19.904
35.021	(421)	2.56022	2.56013	0.00009	35.021
36.032	(403)	2.48873	2.49059	-0.00186	36.032
39.322	(423)	2.29069	2.28946	0.00124	39.322

الجدول (III4-): خصائص البنية البلورية المتحصل عليها ببرنامج Digvol

M=53

F=12

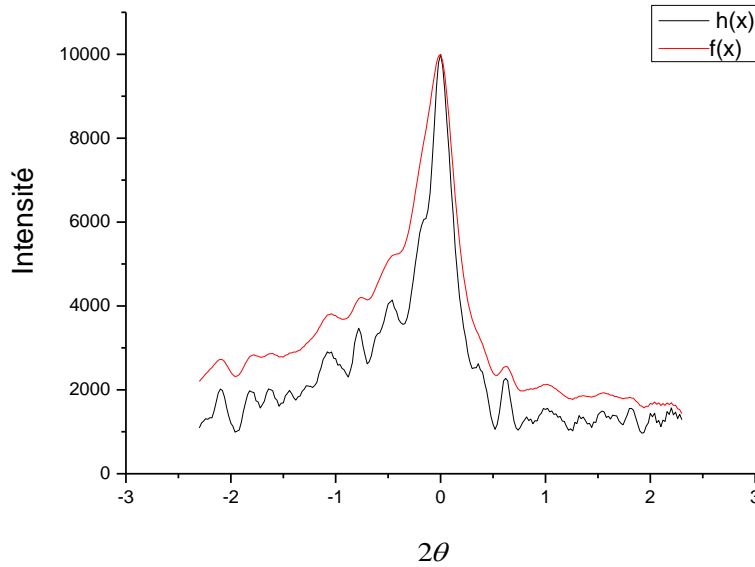
### 6-1-III إيجاد الدالة الحقيقية :

لإيجاد الدالة الحقيقية profil vrai نستعمل برنامج (LWL) او برنامج ستوكس الهدف من استخدام هذا البرنامج هو تنقية مخطط الانعراج المتحصل عليه من جهاز DRX من الاخطاء الناتجة عن الجهاز (عامل درجة الحرارة, معامل التعددية, عامل لورنتز .....).

### 7-1-III رسم مختلف الأهداب الحقيقية :

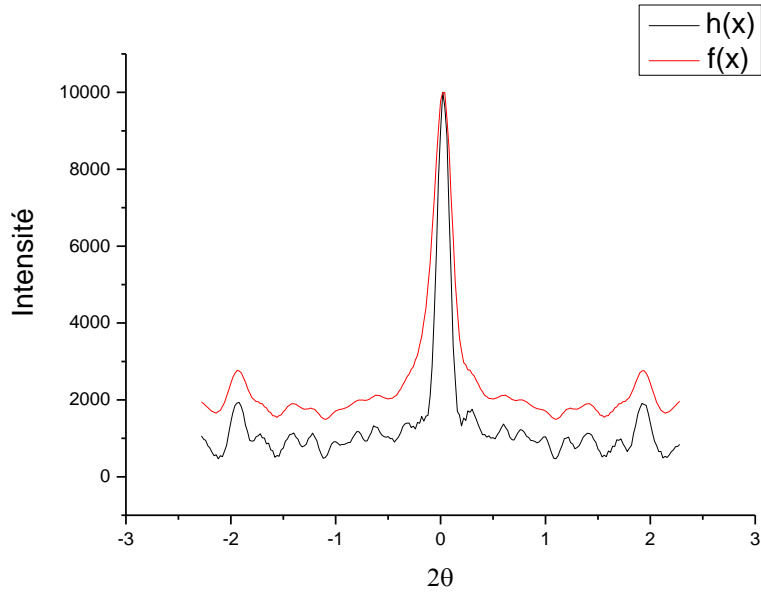
تطبيق طريقة LWL تعطي لنا الأهداب الحقيقية. الأشكال (1- III) (2- III) (3- III) (4- III) تمثل الأهداب الموافقة لمخطط الانعراج للكاولن DD1 حسب ترتيب الزوايا :

$$2\theta = 12,36^\circ, 2\theta = 19,90^\circ, 2\theta = 36,02^\circ \text{ et } 2\theta = 39,30^\circ.$$

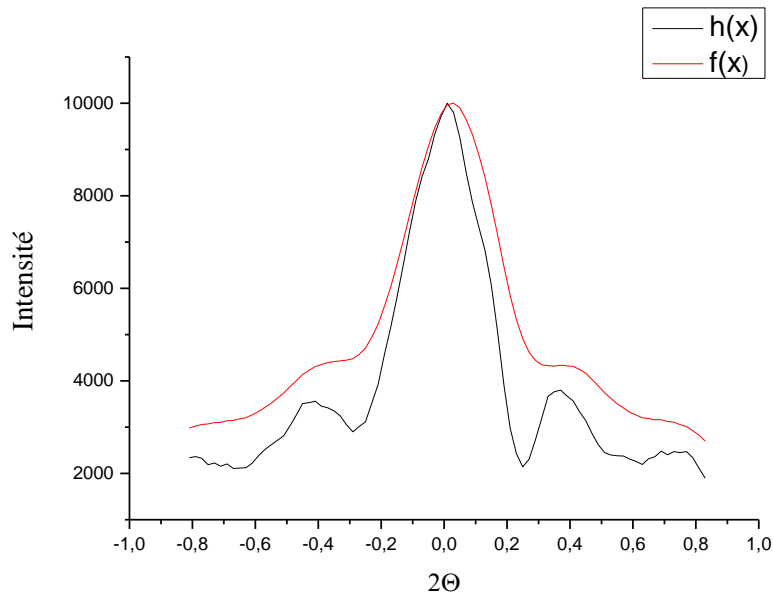


الشكل (1- III) : الدالة الحقيقية للهدب (111)

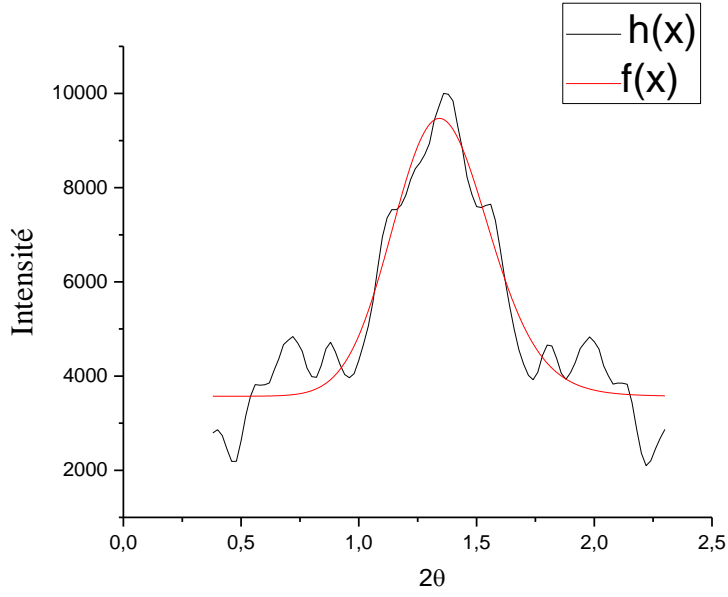




الشكل (III- 2) : الدالة الحقيقية للهدب (103)



الشكل III (3- ) : يمثل الدالة الحقيقية للهدب (403)

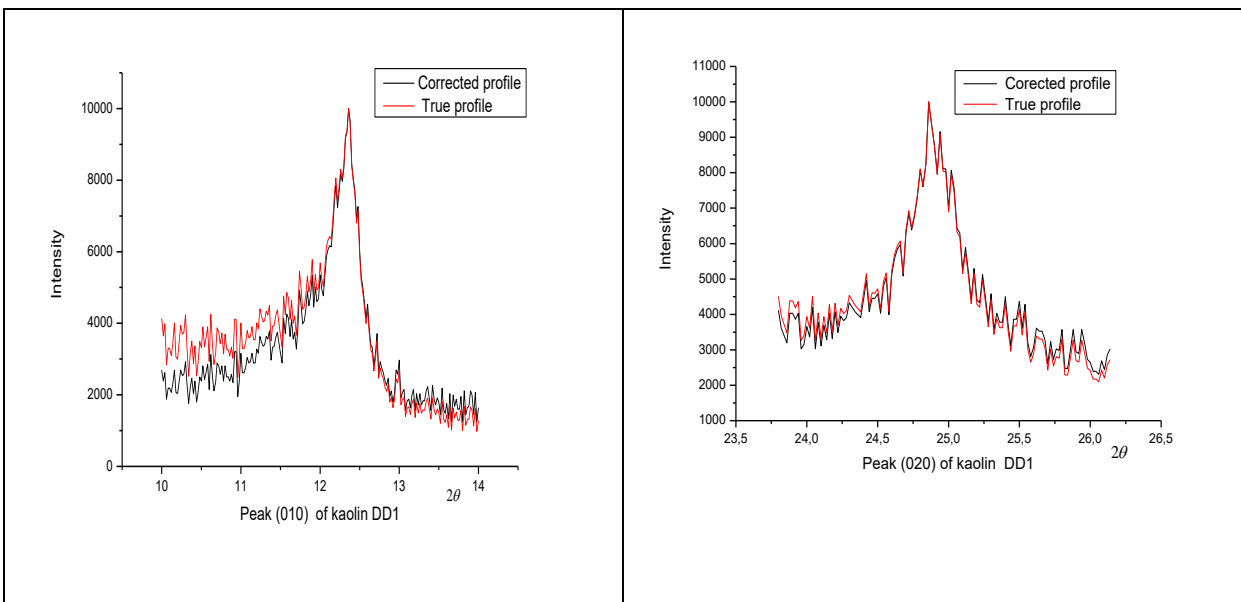


الشكل (III-4) : يمثل الدالة الحقيقية للهدب (423)

III-2 مناقشة النتائج المتحصل عليها :

III-2-1 تصحيح لورنتز :

قمنا باستعمال تصحيح لورنتز على مختلف الاهداب للكاولن DD1 الموضحة في الاشكال التالية :

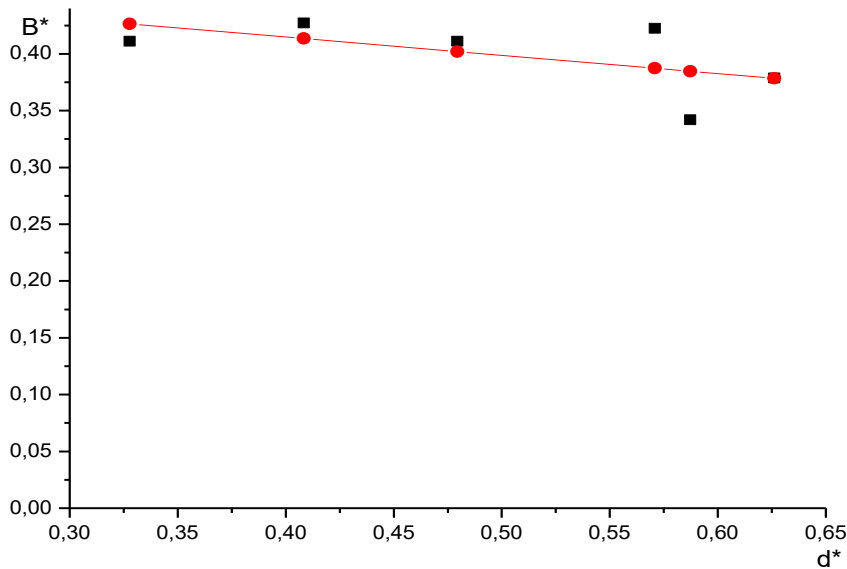


الشكل (III-5) : تصحيح لورنتز لأهداب الكاولن DD1

نلاحظ ان تصحيح لورنتز له تأثير في بداية الهدب الاول ( 020 ) اما بقية الاهداب لم تتأثر بتصحيح لورنتز

### III-2-2 تمثيل مخطط ويليامسون هول :

مخطط ويليامسون هول للكاولن DD1 ممثّل في الشكل التالي :



الشكل III-6: مخطط ويليامسون هول للكاولن DD1 .

نلاحظ ان المنحنى عبارة عن ميل سالب وهذا ليس له معنى فيزيائي (نتيجة اخطاء في معالجة اهداب الانعراج).

من خلال المنحنى نستنتج ان بلورات الكاولينيت غير متأثرة بالإجهاد متأثرة فقط بالبعد الحبيبي

### III-2-3 حساب البعد الحبيبي:

(ا) استعمال طريقة اران افرباخ :

يحسب البعد في طريقة اران افرباخ انطلاقا من معاملات فورييه (الحقيقية والخيالية) المدونة في الجداول التالية :

Pic (103)		Pic (111)	
$A(l, s_n)$	$B(l, s_n)$	$A(l, s_n)$	$B(l, s_n)$
.1000000E+01	.0000000E+00	.1000000E+01	.0000000E+00
.2638966E+00	.8217709E-02	.3771588E+00	-.5774870E-01
.2755725E+00	.2696048E-01 -	.2031769E+00	.1408108E-01
.2168030E+00	.2329160E-01	.1684756E+00	-.7841229E-01
.1716555E+00	.3125706E-01	.8001457E-01	.8879538E-01
.2235988E+00	.3965743E-01 -	.7883313E-01	-.1072939E+00
.1444729E+00	.3862212E-01	.1205637E-01	.7901996E-01
.2294417E+00	.4941661E-01 -	.1056983E-01	-.7897567E-01
.1146431E+00	.4118888E-01	-.3077265E-01	.6554786E-01
.1300519E+00	.4331100E-01	-.1214948E-01	-.7682528E-01
.1604927E+00	.5256117E-01 -	-.3416555E-01	.1374245E-01
.9454468E-01	.4568532E-01	-.1927391E-01	-.3983932E-01
.1451312E+00	.5399116E-01 -	-.1937245E-01	.1241567E-02
.7816790E-01	.4866044E-01	-.3636444E-01	.3098655E-01
.1493183E+00	.5460118E-01 -	-.1180777E-01	-.1054034E-01
.6833873E-01	.5081661E-01	-.1523210E-01	-.1882216E-01
.1209772E+00	.5204270E-01 -	.2499516E-02	-.3902750E-01
.5777083E-01	.5002042E-01	-.1841373E-02	-.2632691E-01
.5336765E-01	.5254067E-01	-.9345585E-02	-.2602251E-01
.8032616E-01	.4162975E-01 -	-.1672410E-03	.1187025E-01
.1156366E-01	.5236648E-01	-.1572736E-01	-.1737435E-01
.2132613E-01	.4195527E-01	-.8796118E-02	-.3922079E-02
.4577071E-01	.3453821E-01 -	.9046640E-02	-.2767729E-01
.3590766E-01	.2710961E-01 -	-.6248966E-04	-.2054520E-01
.2549847E-01	.2923195E-01 -	.1336138E-01	-.7087961E-02
-.4811397E-02	.3039612E-01	-.2915217E-02	-.3755597E-02
.2164832E-01	.1861574E-01 -	-.5228766E-02	-.3637588E-03
.9342266E-02	.1452717E-01	-.1025136E-01	-.3924064E-02
.1311898E-01	.1284726E-01 -	.1388372E-01	.5232523E-02
.8473318E-02	.6409144E-02	.5817604E-02	-.5606003E-02
.1514381E-01	.4555497E-02 -	.1025857E-01	-.1836566E-02
.3909258E-02	.2352409E-02	.3040260E-02	-.2575790E-02
.2132629E-02	.7684822E-02 -	.5935585E-03	-.5963769E-02
-.1083759E-01	.9089615E-02	.1076117E-03	-.1533568E-02
.1871823E-02	.4989402E-02 -	-.1452959E-02	-.2800999E-02
-.4139910E-02	.1931884E-02	.3778624E-02	.3531844E-02
.3266202E-02	.1912926E-02 -	.2773454E-02	.8126128E-03
-.7989283E-03	.1774047E-02	.2251875E-02	.4131202E-02
		.2010528E-02	
		-.1466127E-02	

-2301074E-02	.4632781E-02	-.7989283E-03	-.1475380E-03
-.4462681E-02	.3115151E-03 -	.4131202E-02	.3407308E-02

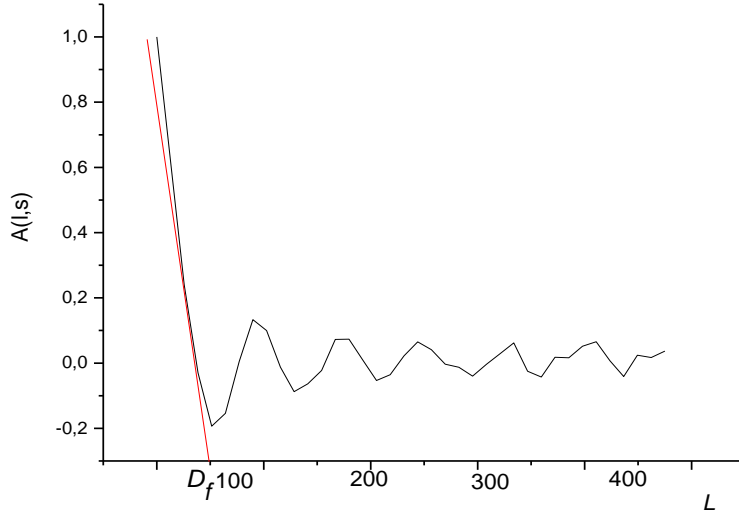
الجدول III-5: معاملات فورييه الحقيقية و الخيالية.

Pic (423)		Pic (403)	
A (l, sn)	B (l, sn)	A (l, sn)	B (l, sn)
.1000000E+01	.0000000E+00	.1000000E+01	.0000000E+00
.2445385E+00	.6296937E-02	-.2356699E+00	-.2427695E+00
.8883285E-01	.6445120E-02	.1863312E-01	.1534562E+00
.9147318E-01	.8622931E-02	.8986910E-01	.8586542E-01
-.1037829E-01	.1634809E-02	-.1198116E+00	-.1173987E+00
-.1569480E-01	.1204381E-02	.1100129E-01	.3470618E+00
.7588182E-02	.5067072E-02 -	.8337267E-01	-.1334235E+00
-.1121790E-02	.4683007E-02	-.5431013E-01	.2765153E-01
.3199138E-01	.1078924E-01 -	-.1434741E-01	.2140577E-01
.9761811E-02	.7871531E-02	.5905645E-02	.5886329E-01
.9084035E-02	.6902198E-02 -	.3042755E-04	-.7231432E-01
-.2822931E-01	-.1286455E-03	-.4163088E-01	.5301003E-01
.1832723E-01	.7377512E-02 -	.4331820E-01	-.3811616E-01
-.1386630E-01	.1290024E-02	-.3017456E-01	.1701603E-01
.1262386E-02	.1660967E-02 -	.5895090E-02	-.1786923E-01
-.8726121E-02	.6182873E-03	-.2303144E-01	-.4881069E-02
.9526153E-02	.1265482E-02 -	.6933037E-02	-.8722441E-02
.1480217E-02	.9431023E-03	-.6210056E-02	.6826063E-02
.3770566E-02	-.4296000E-03 -	.5222787E-02	-.2719007E-01
-.4631549E-02	-.2988904E-03	-.1032098E-01	.1957143E-01
.5324661E-02	-.5263687E-03 -	.1318795E-01	-.1476778E-01
-.5121912E-02	-.3999331E-03	-.5174759E-02	.6173702E-02
.4061894E-02	-.1728734E-03 -	-.3159567E-02	-.1060646E-01
-.5456800E-02	-.3215094E-03	-.1449517E-01	.1836299E-01
.5896056E-02	-.5103564E-03 -	.1354431E-01	-.1613593E-01
-.5002833E-02	-.6308715E-03	-.1106897E-01	.1640969E-01
.5910605E-02	-.6444557E-03 -	.9994371E-02	-.1621278E-01
-.6005112E-02	.5293350E-03	-.1754357E-01	.8571704E-02
.5464523E-02	.2410546E-03 -	.1482549E-01	-.5813668E-02
-.5684286E-02	.1011339E-03	-.1387136E-01	.6735452E-02
.5688552E-02	-.5712196E-03 -	.1276856E-01	-.1085243E-01
-.5629823E-02	-.3674219E-03	-.1542596E-01	.8329771E-02
.5756636E-02	.2560469E-03 -	.2045796E-01	-.3574899E-02
-.5673209E-02	-.5160765E-03	-.7056066E-02	-.1877213E-02
.5745702E-02	-.1205816E-03 -	.1158526E-01	-.4357961E-02
-.5624462E-02	-.2230961E-03	-.6233812E-02	.1084689E-02
.5844175E-02	.2726151E-03 -	.1293716E-01	-.1700129E-03
-.5650416E-02	-.1768538E-03	-.1278174E-01	.1949665E-03
.5679441E-02	-.1648304E-03 -	.1310134E-01	-.8492894E-03
-.5669685E-02	.1169478E-03	-.1081995E-01	.3843226E-02

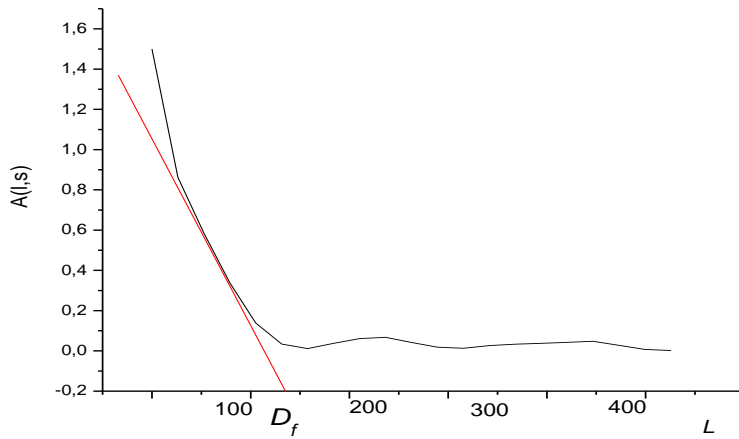
الجدول (III-6): معاملات فورييه الحقيقية و الخيالية

نلاحظ أن المعامل فورييه الخيالي له قيم صغيرة جدا بالمقارنة مع معامل فورييه الحقيقي وهذا يثبت أن الاهداب متناظرة (متأثرة بالبعد الحبيبي فقط) وهذا مئمن كذلك انطلاقا من النتائج المتحصل عليها في الجدول السابق (الجدول III-6).

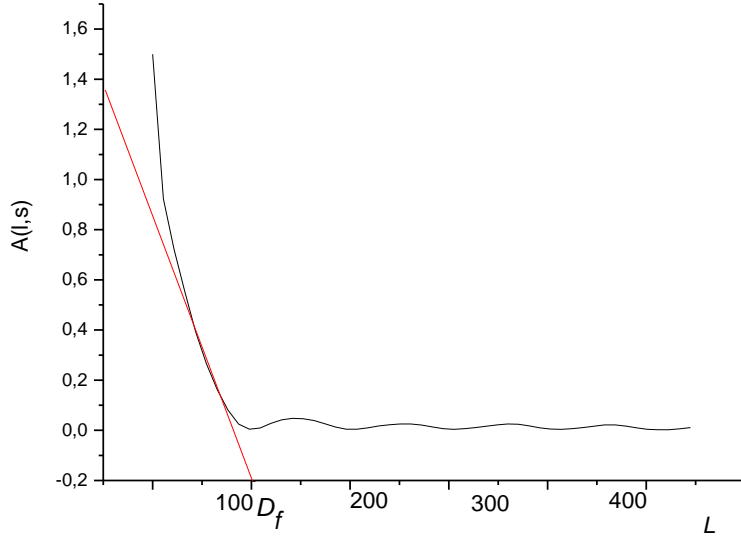
الاشكال 7، 8، و9 تمثل تغير المعامل فورييه بدلالة (  $L$  nombre harmonique )



الشكل (III-7): تغيرات معاملات فورييه للهدب (200) بدلالة  $L$



الشكل (III-8): تغيرات معاملات فورييه للهدب (100) بدلالة  $L$



الشكل (III-9): تغيرات معاملات فورييه للهدب (131) بدلالة L

Les Pics	$D_f$ (Å)
(200)	99
(100)	143
(131)	100
Taille moyenne $\langle D_f \rangle = 114 \text{ Å}$	

الجدول III-7: البعد البلوري لمختلف اهداب الكاولينيت بطريقة ورن افرباخ.

باستعمال مخطط ويليامسون هول :

انطلاقا من مخطط ويليامسون هول القيمة المتوسطة للبعد الحبيبي هي :

$$D_f = 1/\beta^*$$

ومنه نجد:

$$D_f = 118 \text{ Å}$$

باستعمال علاقة شيرر:

علاقة شيرر صالحة فقط في الحالة التي تكون فيها العينة متأثرة بالبعد الحبيبي (غياب الاجهاد) .

علاقة شيرر تكتب على الشكل :

$$D = \frac{C\lambda}{\beta \cos\theta}$$

C: هو ثابت شيرر يتعلق بالشكل الحبيبي وهو محصور بين 0.89 و 1.39 في الحالة التي

تكون فيها شكل حبيبات الكاولن كروي C=1 [36]

القيم البعد البلوري للكاولنيت المدروسة مدونة في الجدول التالي :

Les Pics	$D_f$ (Å)
(200)	144
(100)	115
(131)	116
Taille moyenne $\langle D_f \rangle = 125 \text{ \AA}$	

الجدول III- 8: البعد البلوري لمختلف اهداب الكاولنيت .

من خلال حساب البعد الحبيبي انطلاقا من طرق الثلاثة نلاحظ أن القيم متقاربة:

- بواسطة طريقة واران افرباخ  $D_f=114 \text{ \AA}$

- بواسطة علاقة شيرر  $D_f=125 \text{ \AA}$

- بواسطة مخطط ويليامسون هول  $D_f=118 \text{ \AA}$

حساب البعد الغالب في الكاولن DD1 (الكاولنيت):

لدراسة البعد الغالب في الطور الاساسي للكاولن DD1 نستعمل مشتق البعد  $A^s(L)$  بدلالة

نتائج البعد الغالب مدونة في الجدول التالي :

البعد الغالب (Taille dominante) $A^\circ$	الهدب (Pics)
32	(200)
35	(100)
40	(131)

الجدول III- 9: البعد الغالب في الطور الاساسي للكاولن DD1 .



# الخلاصة العامة

## الخلاصة العامة

في هذا العمل قمنا بدراسة البنية المجهرية (البعد ، الإجهاد ..... ) للكاولن جبال دباغ DD1 ولقد ارتكز عملنا على الطور الكاولينيت في بداية العمل قمنا بتحديد النظام البلوري للكاولينيت وثابت البلورة .ولإيجاد الدالة الحقيقية استعملنا طريقة ستوكس ولحساب البعد الحبيبي استعملنا ثلاث طرق وهي طريقة واران افرباخ وويليامسون هول وعلاقة شيرر ولقد وجدنا نتائج الحساب متقاربة في حساب البعد الحبيبي ولتأكد من العينة انها متأثرة بالبعد الحبيبي استعملنا طريقة ويليامسون هول .

يمكن التأكد من وجود البعد (La Taille) والإجهاد انطلاقا من معاملات فوري. من خلالدراسة البنية المجهرية للكاولان DD1 تبين أنها متأثرة بعد الجزيئات فقط. ولقد استخدمنا ثلاث طرق لحساب بعد الجزيئات.

- باستخدام طريقة واران أفرباخ وجدنا البعد في الكاولينيت (الطور الرئيسي) محصور بين  $99\text{\AA}$  و  $144\text{\AA}$  .

- باستخدام علاقة شرر وجدنا البعد محصور بين  $115\text{\AA}$  و  $144\text{\AA}$  .

- انطلاقا من مخطط ويليامسون و هول وجدنا البعد هو  $118\text{\AA}$  .

ولدراسة توزيع البعد في الكاولن DD1 وجدنا البعد الغالب هو  $32\text{\AA}$ ، التوزيع الذي يوافق البعد الغالب هو %92.

# المراجع

## المراجع :

- [1] س . تامة ، تحضير وتحديد البنية البلورية بواسطة انعراج الاشعة السينية على مسحوق  $Ca_{0.3}Sr_{0.7}FeO_{2.5}$  ،مذكرة ماستر، جامعة الوادي ،( 2013 ).
- [2] ع. الهزازي ، الحالة الصلبة الفصل الرابع ، السعودية .
- [3] C.Kittel , Introduction to solid state Physics, (2005)
- [4]A.Monshi, R. Foroughi M, R. Monshi M, Modified Scherrer Equation to Estimate More Accurately Nano-Crystallite Size Using XRD, pp:154-160 ,(2012).
- [5] ك.بن ساري و ز.عزاوي،تأثير الخطأ التجريبي في حساب حجم الحبيبات باستعمال الاشعة السينية ،مذكرة ماستر اكاديمي ،بجامعة ورقلة،ص11 - 22،( 2017 ).
- [6]B. D.cullity, elements of x- ray diffraction, (1956).
- [7]ن.ع.ق. احمد ، م.ا. سليمان "علم البلورات الأشعة السينية ،القاهرة مصر ،(2115- 1426 هـ ) .
- [8]M.E.Fitzpatrick ,A.T.Fry, P. Holdway , F.A.Kandil , J.Shackleton and L.Suominen . “Determination of Residual Stresses by X-ray Diffraction ) , (2005).
- [9] M. Gaber, A. Abdel- Rahim,A. Mahmoud, N. Abdel- Salam, Influence of Calcination Temperature on the Structure and Porosity of Nanocrystalline SnO<sub>2</sub> Synthesized by a Conventional Precipitation method, (2014).
- [10] S. Tjong,H. Chen, Nanocrystalline materials and coatings, (2004).
- [11] Y.T. Prabhu, X-Ray Analysis by Williamson-Hall and SizeStrain Plot Methods of ZnO Nanoparticles with Fuel Variation,pp21-28, (2013).
- [12] T. Theivasanthi and M. Alagar, Nano sized copper particles by electrolytic synthesis and characterizations , pp:3662-3671, (2011).
- [13] B.B. Khalfallah, Influence de l'erreur expérimentale sur la détermination de la symétrie de la maille cristalline, mémoire de magister, Université Mentouri-Constantine.
- [14]D.Louer,M. Louer, J. appl," CRYST" , 5, 271-275, (1972).

- [15]A. Boultif , Indexing of powder diffraction patterns for low symmetry lattices by the successive dichotomy method scryst , 24.987-993, (1991).
- [16]A. BOULTIF, D. LOUER, J. APPL." CRYST".37, 724-731, (2004).
- [17]P.Werner, L.Eriksson and West Dahl TREOR , a semi-exhaustive trial and error powder indexing for all symmetries, 18,367-370, (1985)
- [18]J .Vesser, A fully Automatic program for finding the unit cell from powder, 2.89, (1962).
- [19]H.bouraoui, Conformation moléculaire, structure cristalline, Spectroscopie, des produits polycycliques benzéniques organoséléniés, (2016).
- [20] ا.ف. باشا، ش.ا. خيرى ، البصرييات الفيزيائية، دار الفكر العربي ، 1998م.
- [21] م.ا. سليمان ، ا.ف. باشا، ا.د. شريف احمد خيرى ، فيزياء الجوامد ، دار الفكر العربي ، 2000م.
- [22] J.B.Colven and J.E.Hilliard, Mechanical Behaviour of Materials ,(1998).
- [23]T.Otto , W.Wpringer-Verlag, Crystallographic Borchard ,Fundamentals of Crystal physics Sirotin .Yn, (1993).
- [24]M.M. Woofson, Direct Methods in crystallography ,(1961).
- [25] B.D. Cullity, Elements of x-ray Diffraction, publishing companyinc , (1978) .
- [26] P.M .shaskolsraya, Mir publishers, Fundamentals of crystal physics Sirotin,(1982).
- [27]F.A.Jentins and white, H.E.Mc Graw Hill ,fundamentals of optic,(1957).
- [28]F.W. BillmeyerWiley, N.Y.Interscience, Text Book of polymer science, (1971).
- [29]G.S. Rohrer , Structure and bonding in crystalline Materials cambridge, (2001).
- [30]H. Lipson and Cochran, the Determination of crystal structures, (1966).
- [31]J.F. Nye, Oxford, physical properties of crystals, (1967).

[32] N.Y. Van No strand, piezoelectric crystals and their applications to ultrasonics, (1950).

[33] W.G.N. Mcgraw Hill, Piezoelectric cady , (1946).

[34] W. N.Ashcroft ,D. Mermin , Holt-saundersInt, Solid state Physics ,(1976).

[35] ن.عبد القادر احمد و م. امين سليمان ، علم البلورات و الاشعة السينية ، ص 351 الى 362 ، (2005 م).

[36] C.G.Shull, thedetermination of X-ray diffraction line widhths des contraintes internes, Habilitation à diriger des recherches ,(2004).

## ملخص

في هذا العمل قمنا بدراسة الكاولن المحلية بواسطة الأشعة السينية. كاولن جبل دباغ DD1 و الذي يتكون من طورين هما الهالوسيتو الكاولينيت.

لقد ارتكز عملنا على الكاولينيت الطور الرئيسي للمسحوق. وبعد تحصلنا على طيف المسحوق أدخلنا تصحيح لورنتز الذي أعطي لنا نتائج مطابقة لطيف المسحوق. ولإيجاد الدالة الحقيقية استعملنا برنامج وفق طريقة LWL و الذي كان ضروريا لدراسة البنية المجهرية (حجم الحبيبات. التشوه) وإعطاء معاملات فوري. ولإيجاد قيم البعد قمنا باستعمال طريقة وران أفرباك ويليامسون وهال. كما طبقنا علاقة شرر في الحالة التي لا تكون فيها الاجهادات (التشوه).

ولدراسة الكاولينيت في الكاولين DD1 وجدنا أنه لا يحتوي على الإجهاد وذلك أكد بطريقة ويليامسون وهال. إن البعد المتوسط بليرات في الكاولن DD1 للطور المدروس هو  $\text{Å}114$  وهذا بطريقة وران أفرباك. و  $\text{Å}118$  بطريقة ويليامسون وهال وباستعمال علاقة شرر وجدنا الحجم  $\text{Å}125$ . ولدراسة توزيع بعد الحبيبات بينة البعد الغالب للكاولينيت في كاولن DD1 فهي قريبة من  $32 \text{ Å}$  (ب92%).

### الكلمات المفتاحية:

علم البلورات للمساحيق, الكاولن DD1, الكاولينيت, الهالوسيت, تحديد بعد الحبيبات, التشوه, طريقة وران و أفرباك, طريقة LWL, طريقة ويليامسون وهال, توزيع بعد الحبيبات, تصحيح لورنتز, الطور الرئيسي.

## Résumé

Dans ce travail nous étudions le kaolin local par rayons X. Kaolin Jabal Dabbagh DD1 qui se compose de deux phases: halocite et kaolinite.

Notre travail a été basé sur la kaolinite comme phase poudre principale. Après avoir obtenu le spectre de la poudre, nous avons inséré la correction de Lorentz qui nous a donné des résultats correspondant au spectre de la poudre. Afin de trouver la fonction réelle, nous avons utilisé un programme selon la méthode LWL, qui était nécessaire pour étudier la microstructure (granulométrie, déformation) et donner des coefficients immédiats. Pour trouver les valeurs de dimension, nous avons utilisé la méthode de Rann Overbuck Williamson et Hall. Nous avons également appliqué une relation d'étincelle dans le cas où les contraintes (déformation) ne sont pas présentes.

Pour étudier la kaolinite dans le kaolin DD1, nous avons trouvé qu'elle ne contient pas de stress et cela a été confirmé par la méthode de Williamson et Hall. Le volume moyen de billettes dans le kaolin DD1 pour la phase étudiée est de 114, et ceci par la méthode Warn Averbuck. Pour étudier la distribution granulométrique, la preuve de la taille prédominante de la kaolinite dans le kaolin DD1 est proche de 32 (par 92%).

### les mots clés:

kaolin DD1, kaolinite, halocite, déformation méthode LWL, méthode Williamson et Hall, correction de Lorentz, phase primaire.



### Abstract :

In this work we studied the local kaolin by X-ray. Kaolin Jabal Dabbagh DD1 which consists of two phases: halocitekaolinite. Our work has been based on kaolinite as the main powder phase. After we obtained the powder spectrum we inserted the Lorentz correction which gave us results that matched the spectrum of the powder. In order to find the real function, we used a program according to the LWL method, which was necessary to study the microstructure (grain size, deformation) and give immediate coefficients. To find the dimension values we used the method of Rann Over buck Williamson & Hall. We also applied a spark relationship in the case when the stresses (deformation) are not present.

To study kaolinite in kaolin DD1, we found that it does not contain stress and that was confirmed by the method of Williamson and Hall. The average volume of billets in DD1 kaolin for the studied phase is 114, and this is by Warn Aver buck method. To study the particle size distribution, the evidence for the predominant kaolinite size in DD1kaolin is close to 32 (by 92%).

key words:kaolin DD1, kaolinite, halocite, deformation, LWL method, Williamson and Hall method, Grain size distribution, Lorentz correction.

